

# Numerik für Informatiker

geT<sub>E</sub>Xt von Andreas Siemer

3. August 2000

## Zusammenfassung

Mitschrieb zur Vorlesung *Numerische Mathematik für die Fachrichtungen Informatik und Ingenieurwesen*, gehalten von Prof. Dr. A. Rieder an der Universität Karlsruhe (SS 2000).

Bem.: Die Numerierung der Sätze und Gleichungen entspricht nicht unbedingt der Vorlesung, da hier oft Verdoppelungen, Auslassungen oder auch verschiedene Bezeichnungen auftraten.

## Inhaltsverzeichnis

<b>1</b>	<b>Normen</b>	<b>2</b>
<b>2</b>	<b>Lineare Gleichungssysteme: direkte Löser</b>	<b>4</b>
2.1	Auflösung gestaffelter Systeme . . . . .	4
2.2	Gaußscher Algorithmus, LR-Zerlegung . . . . .	4
2.3	Cholesky-Zerlegung . . . . .	8
<b>3</b>	<b>Lineare Ausgleichsprobleme</b>	<b>10</b>
<b>4</b>	<b>LGS: Krylov-Raum-Verfahren</b>	<b>12</b>
4.1	Verfahren der konjugierten Gradienten: cg-Verfahren . . . . .	12
4.2	Das GMRES-Verfahren . . . . .	16
<b>5</b>	<b>Nichtlineare Gl.-Systeme: Newton-Verfahren</b>	<b>19</b>
<b>6</b>	<b>Interpolation und Approximation</b>	<b>26</b>
6.1	Polynominterpolation . . . . .	27
6.2	Splines und Splineinterpolation . . . . .	29
6.3	Freiformkurven, Beziertechnik . . . . .	34
<b>7</b>	<b>Diskrete Fouriertransformation (DFT)</b>	<b>39</b>
<b>8</b>	<b>Numerische Quadratur</b>	<b>42</b>

# 1 Normen

## Vektornormen

Eine *Vektornorm* ist eine Funktion  $\|\cdot\|: \mathbb{C}^n \rightarrow [0, \infty[$  mit

1.  $\|x\| = 0 \Leftrightarrow x = 0$
2.  $\|\alpha \cdot x\| = |\alpha| \cdot \|x\| \forall \alpha \in \mathbb{C}$
3.  $\|x + y\| \leq \|x\| + \|y\|$

*Beispiel:*

$$p\text{-Normen: } \|x\|_p := \left( \sum_{i=1}^n |x_i|^p \right)^{\frac{1}{p}}, 1 \leq p < \infty$$

$$\text{Euklidische Norm: } \|\cdot\|_2$$

$$\text{Maximumsnorm: } \|\cdot\|_\infty, \|x\|_\infty = \max_{1 \leq i \leq n} |x_i|$$

**Satz 1.1.** Zu jedem Paar  $\|\cdot\|, \|\cdot\|$  von Normen existieren Konstanten  $0 < m \leq M < \infty$ , so daß

$$m \cdot \|x\| \leq \|x\| \leq M \cdot \|x\|$$

(“Vektornormen sind äquivalent”)

*Beispiel:*

$$\|x\|_q \leq \|x\|_p \leq n^{\left(\frac{1}{p} - \frac{1}{q}\right)} \|x\|_q, p \leq q$$

## Matrixnormen

Eine *Matrixnorm* ist eine Abbildung

$$\|\cdot\|: \mathbb{C}^{n \times m} \rightarrow [0, \infty[$$

mit den drei Eigenschaften einer Vektornorm, wenn sie zusätzlich *submultiplikativ* ist, d.h.

$$\|A \cdot B\| \leq \|A\| \cdot \|B\| \forall A \in \mathbb{C}^{n \times r}, B \in \mathbb{C}^{r \times m}$$

Eine Matrixnorm heißt *verträglich mit den Vektornormen*  $\|\cdot\|_{\mathbb{C}^n}$  und  $\|\cdot\|_{\mathbb{C}^m}$  falls gilt:

$$\|A \cdot x\|_{\mathbb{C}^n} \leq \|A\| \cdot \|x\|_{\mathbb{C}^m}$$

*Beispiel:* a) Zeilensummennorm:

$$\|A\| = \max_i \sum_{k=1}^m |a_{i,k}|$$

b) Spaltensummennorm:

$$\|A\| = \max_k \sum_{i=1}^n |a_{i,k}|$$

c) Frobeniusnorm:

$$\|A\| = \left( \sum_{i=1}^n \sum_{k=1}^m |a_{i,k}|^2 \right)^{\frac{1}{2}}$$

d) *keine* Matrixnorm:

$$\|A\| = \max_{i,k} |a_{i,k}|$$

denn:

$$2 = \left\| \begin{pmatrix} 1 & 1 \\ 0 & 0 \end{pmatrix} \cdot \begin{pmatrix} 1 & 0 \\ 1 & 0 \end{pmatrix} \right\| \not\leq \left\| \begin{pmatrix} 1 & 1 \\ 0 & 0 \end{pmatrix} \right\| \cdot \left\| \begin{pmatrix} 1 & 0 \\ 1 & 0 \end{pmatrix} \right\| = 1$$

Vektornormen  $\|\cdot\|_{\mathbb{C}^n}$ ,  $\|\cdot\|_{\mathbb{C}^m}$  induzieren eine Matrixnorm auf  $\mathbb{C}^{n \times m}$ :

$$\|A\| := \max_{x \neq 0} \frac{\|Ax\|_{\mathbb{C}^n}}{\|x\|_{\mathbb{C}^m}} = \max_{\|x\|_{\mathbb{C}^m}=1} \|Ax\|_{\mathbb{C}^n}$$

Solche Matrixnormen heißen *zugeordnet* oder *induziert*.

*Beispiel:* p-Norm:

$$\|A\|_p := \max_{\|x\|_p=1} \|A \cdot x\|_p$$

- $p = 1$ :  $A = (a_1, \dots, a_m)$ ,  $a_i \in \mathbb{C}^n$

$$\|Ax\|_1 = \left\| \sum_{j=1}^m a_j x_j \right\|_1 \leq \sum_{j=1}^m |x_j| \cdot \|a_j\|_1 \leq \max_{1 \leq j \leq m} \|a_j\|_1 \cdot \|x\|_1$$

Die Ungleichung ist scharf.  $\Rightarrow \|\cdot\|_1$  ist die Spaltensummennorm.

- $p = \infty$ :  $\|\cdot\|_\infty$  ist die Zeilensummennorm
- $p = 2$ :  $\|Ax\|_2^2 = \langle Ax, Ax \rangle = \langle A^* A x, x \rangle$

Es gilt:  $\|A\|_2 = \lambda_{\max}(A^* A)^{\frac{1}{2}}$  (größter Eigenwert).

$\|\cdot\|_2$  heißt *Spektralnorm* mit den Eigenschaften:

- $\|A\|_2 = \|A^*\|_2$
- $\|A^* A\|_2 = \|A\|_2^2$
- $\|Q \cdot A\|_2 = \|A\|_2 \forall Q$  unitär ( $Q^* Q = I$ )

### Konditionszahl $\kappa$

Sei  $A$  eine quadratische Matrix,  $A \in \mathbb{C}^{n \times n}$  regulär, d.h.  $A^{-1}$  existiert.

$$\kappa(A) = \|A\| \cdot \|A^{-1}\| \text{ heißt } \textit{Konditionszahl von } A \text{ bezüglich } \|\cdot\|$$

Falls  $\|\cdot\|$  induziert:  $1 = \|I\| = \|A \cdot A^{-1}\| \leq \|A\| \cdot \|A^{-1}\| = \kappa(A)$

$$\kappa_p(A) = \|A\|_p \cdot \|A^{-1}\|_p, 1 \leq p < \infty$$

**Satz 1.2.** Sei  $A \in \mathbb{C}^{n \times n}$  regulär. Dann gilt:

$$\min \left\{ \frac{\|A - S\|_p}{\|A\|_p} \mid S \in \mathbb{C}^{n \times n} \text{ singular} \right\} = \frac{1}{\kappa_p(A)}$$

*Beispiel:*

$$A = \begin{pmatrix} 2 & 1 \\ 1 & 0.4999 \end{pmatrix}, \kappa_2(A) \approx 31250$$

## 2 Lineare Gleichungssysteme: direkte Löser

Gegeben:

$$A = \{a_{i,j}\} \in \mathbb{R}^{n \times n} \text{ regulär, } b \in \mathbb{R}^n$$

Gesucht:

$$x \in \mathbb{R}^n : Ax = b \Leftrightarrow \sum_{i=1}^n a_{j,i} x_i = b_j, j = 1, \dots, n \quad (2.1)$$

### 2.1 Auflösung gestaffelter Systeme

$Rx = z$  mit  $r_{i,j} = 0$  für  $i > j$  ( $R$  ist obere  $\Delta$ -Matrix)

$$\begin{array}{cccccc} r_{1,1}x_1 & + & r_{1,2}x_2 & + & \cdots & + & r_{1,n}x_n & = & z_1 \\ & & r_{2,2}x_2 & + & \cdots & + & r_{2,n}x_n & = & z_2 \\ & & & & \ddots & & \vdots & & \vdots \\ & & & & & & r_{n,n}x_n & = & z_n \end{array}$$

$$\begin{aligned} \Rightarrow \det R &= \prod_{i=1}^n r_{i,i} \neq 0 \\ &\Leftrightarrow r_{i,i} \neq 0 \end{aligned}$$

#### Rückwärtssubstitution

$$\begin{aligned} x_n &= \frac{z_n}{r_{n,n}} \\ x_{n-1} &= (z_{n-1} - r_{n-1,n}x_n) / r_{n-1,n-1} \\ &\vdots \\ x_i &= (z_i - r_{i,i+1}x_{i+1} - \cdots - r_{i,n}x_n) / r_{i,i} \\ &\vdots \\ x_1 &= (z_1 - r_{1,2}x_2 - \cdots - r_{1,n}x_n) / r_{1,1} \end{aligned}$$

*Aufwand:* Berechnung von  $x_i$  benötigt  $(n-i)$  Additionen und  $(n-i)$  Multiplikationen sowie eine Division.

$$\Rightarrow \sum_{i=1}^n (2(n-i) + 1) = n^2 \text{ Operationen}$$

Das Auflösen eines unteren  $\Delta$ -Systems  $Lx = z$  mit  $l_{i,j} = 0, i < j$  verläuft analog und heißt *Vorwärtssubstitution*.

### 2.2 Gaußscher Algorithmus, LR-Zerlegung

*Idee:* Führe (2.1) über in  $\Delta$ -System, das dieselbe Lösung besitzt.

Zulässige Umformungen von  $(A, b) \in \mathbb{R}^{n \times (n+1)}$ :

- Vertauschen von Zeilen/Spalten (Umnummerierung der Unbekannten merken) in  $A$
- Multiplikation einer Zeile mit Zahl  $\neq 0$
- Addition des Vielfachen einer Zeile zu einer anderen

$$\left( \begin{array}{cccc|c} a_{1,1} & a_{1,2} & \cdots & a_{1,n} & b_1 \\ a_{2,1} & a_{2,2} & \cdots & a_{2,n} & b_2 \\ \vdots & \vdots & \ddots & \vdots & \vdots \\ a_{n,1} & \cdots & \cdots & a_{n,n} & b_n \end{array} \right) = (A, b) = (A^{(1)}, b^{(1)})$$

### 1. Schritt

Produziere Nullen unterhalb von  $a_{1,1}$ . Es sei  $a_{1,1} \neq 0$ . Subtrahiere das  $l_{j,1} = \frac{a_{j,1}}{a_{1,1}}$ -fache der 1. Zeile von der  $j$ -ten Zeile.

$$\begin{aligned} a_{j,i}^{(2)} &= a_{j,i}^{(1)} - l_{j,1} a_{1,i} \\ b_j^{(2)} &= b_j^{(1)} - l_{j,1} b_1^{(1)} \\ i, j &= 2, \dots, n \end{aligned}$$

$$\left( \begin{array}{cccc|c} a_{1,1}^{(1)} & a_{2,1}^{(1)} & \cdots & a_{1,n}^{(1)} & b_1^{(1)} \\ 0 & a_{2,2}^{(2)} & \cdots & a_{2,n}^{(2)} & b_2^{(2)} \\ \vdots & \vdots & \ddots & \vdots & \vdots \\ 0 & a_{n,2}^{(2)} & \cdots & a_{n,n}^{(2)} & b_n^{(2)} \end{array} \right) = (A^{(2)}, b^{(2)})$$

$A^{(2)} = L_1 A^{(1)}$ ,  $b^{(2)} = L_1 b^{(1)}$  mit

$$L_1 = \begin{pmatrix} 1 & & & & \\ -l_{2,1} & \ddots & & & 0 \\ -l_{3,1} & & \ddots & & \\ \vdots & 0 & & \ddots & \\ -l_{n,1} & & & & 1 \end{pmatrix}$$

$k$ -ter Schritt ( $2 \leq k \leq n-1$ )

$$\begin{aligned} &(A^{(k)}, b^{(k)}) \rightarrow (A^{(k+1)}, b^{(k+1)}) \\ &\left( \begin{array}{cccc|c} a_{1,1}^{(1)} & \cdots & \cdots & \cdots & a_{1,n}^{(1)} & b_1^{(1)} \\ 0 & a_{2,2}^{(2)} & \cdots & \cdots & a_{2,n}^{(2)} & b_2^{(2)} \\ \vdots & 0 & \ddots & & \vdots & \vdots \\ \vdots & \vdots & & a_{k,k}^{(k)} & \cdots & a_{k,n}^{(k)} & b_k^{(k)} \\ \vdots & \vdots & & \vdots & & \vdots & \vdots \\ \vdots & \vdots & & a_{n,k}^{(k)} & \cdots & a_{n,n}^{(k)} & b_n^{(k)} \end{array} \right) = (A^{(k)}, b^{(k)}) \quad (2.2) \end{aligned}$$

Sei  $a_{k,k}^{(k)} \neq 0$ :

$$\begin{aligned} l_{j,k} &= a_{j,k}^{(k)} / a_{k,k}^{(k)}, \quad j = k+1, \dots, n \\ a_{j,i}^{(k+1)} &= a_{j,i}^{(k)} - l_{j,k} a_{k,i}^{(k)}, \quad k+1 \leq i, j \leq n \\ b_j^{(k+1)} &= b_j^{(k)} - l_{j,k} b_k^{(k)} \end{aligned}$$

$a_{k,k}^{(k)}$  heißt Pivot-Element.

$$\begin{aligned} A^{(k+1)} &= L_k A^{(k)}, \quad b^{(k+1)} = L_k b^{(k)} \\ L_k &= \begin{pmatrix} 1 & & & \\ 0 & 1 & & 0 \\ \vdots & -l_{k,k+1} & \ddots & \\ & \vdots & & \\ -l_{n,k+1} & 0 & & 1 \end{pmatrix} = I - l_k \cdot e_k^t \end{aligned}$$

mit

$$l_k = \begin{pmatrix} 0_1 \\ \vdots \\ 0_k \\ l_{k,k+1} \\ \vdots \\ l_{n,k+1} \end{pmatrix}, \quad e_k = \begin{pmatrix} 0_1 \\ \vdots \\ 0_{k-1} \\ 1_k \\ 0_{k+1} \\ \vdots \\ 0_n \end{pmatrix}$$

Falls  $a_{k,k}^{(k)} \neq 0$  für  $k = 1, \dots, n-1$ , dann

$$\begin{aligned} R &= A^{(n)} = L_{n-1} A^{(n-1)} = L_{n-1} L_{n-2} \cdots L_1 A \\ \Rightarrow A &= L \cdot R \quad \text{mit } L = L_1^{-1} \cdots L_{n-1}^{-1} \end{aligned}$$

*Behauptung:*

$$L_k^{-1} = I + l_k e_k^t$$

*Beweis:*

$$L_k(I + l_k e_k^t) = I - l_k \underbrace{e_k^t l_k}_{=0} e_k = I \quad \checkmark$$

$$\begin{aligned} \Rightarrow L &= (I + l_1 e_1^t)(I + l_2 e_2^t) \cdots (I + l_{n-1} e_{n-1}^t) \\ &= I + l_1 e_1^t + \cdots + l_{n-1} e_{n-1}^t \\ &= \begin{pmatrix} 1 & & & \\ l_{2,1} & 1 & & 0 \\ \vdots & l_{3,2} & \ddots & \\ \vdots & \vdots & \ddots & 1 \\ l_{n,1} & l_{n,2} & \cdots & l_{n,n-1} & 1 \end{pmatrix} \end{aligned}$$

**Definition 2.1.** Die Zerlegung einer Matrix  $A = LR$  in eine obere  $\Delta$ -Matrix  $R$  und eine untere  $\Delta$ -Matrix  $L$ , die nur Einsen auf der Diagonalen hat, heißt *Gaußsche Dreieckszerlegung* oder *LR-Zerlegung*. (engl.: LU-Decomposition, lower-upper)

*Beispiel:*

$$\begin{aligned}
 A &= \begin{pmatrix} 2 & 1 & 1 \\ 4 & 3 & 3 \\ 8 & 7 & 9 \end{pmatrix} \\
 \underbrace{\begin{pmatrix} 1 & 0 & 0 \\ -2 & 1 & 0 \\ -4 & 0 & 1 \end{pmatrix}}_{=L_1} \underbrace{\begin{pmatrix} 2 & 1 & 1 \\ 4 & 3 & 3 \\ 8 & 7 & 9 \end{pmatrix}}_{=A^{(1)}} &= \begin{pmatrix} 2 & 1 & 1 \\ 0 & 1 & 1 \\ 0 & 3 & 5 \end{pmatrix} = A^{(2)} \\
 \begin{pmatrix} 1 & 0 & 0 \\ 0 & 1 & 0 \\ 0 & -3 & 1 \end{pmatrix} \begin{pmatrix} 2 & 1 & 1 \\ 0 & 1 & 1 \\ 0 & 3 & 5 \end{pmatrix} &= \begin{pmatrix} 2 & 1 & 1 \\ 0 & 1 & 1 \\ 0 & 0 & 2 \end{pmatrix} = A^{(3)} = R \\
 L = L_1^{-1} \cdot L_2^{-1} &= \begin{pmatrix} 1 & 0 & 0 \\ 2 & 1 & 0 \\ 4 & 3 & 1 \end{pmatrix} \\
 \Rightarrow A &= \begin{pmatrix} 1 & 0 & 0 \\ 2 & 1 & 0 \\ 4 & 3 & 1 \end{pmatrix} \cdot \begin{pmatrix} 2 & 1 & 1 \\ 0 & 1 & 1 \\ 0 & 0 & 2 \end{pmatrix}
 \end{aligned}$$

### Gauß-Elimination zur Lösung von (2.1)

- $A = LR$  (LR-Zerlegung)
- $Lz = b$  (Vorwärtssubstitution)
- $Rx = z$  (Rückwärtssubstitution)

‡ Multiplikationen  $LR$ :

$$\sum_{k=1}^{n-1} [(n-k) + (n-k)^2] = \frac{1}{3}(n^3 - n)$$

‡ Multiplikationen für Gauß-Elimination:

$$\frac{1}{3}n^3 + n^2 - \frac{1}{2}n$$

### Pivot-Strategie

$$\begin{aligned}
 A &= \begin{pmatrix} \delta & 1 \\ 1 & 1 \end{pmatrix}, 0 < \delta \ll 1 \\
 \Rightarrow L &= \begin{pmatrix} 1 & 0 \\ \delta^{-1} & 1 \end{pmatrix}, R = \begin{pmatrix} \delta & 1 \\ 0 & 1 - \delta^{-1} \end{pmatrix}
 \end{aligned}$$

Zahlendarstellung auf dem Rechner:  $\delta^{-1}$  sei darstellbar.

$$\hat{L} = \begin{pmatrix} 1 & 0 \\ \delta^{-1} & 1 \end{pmatrix}, \hat{R} = \begin{pmatrix} \delta & 1 \\ 0 & -\delta^{-1} \end{pmatrix}$$

$$\Rightarrow \|\hat{L}\hat{R} - A\|_\infty = \frac{1}{2}\|A\|_\infty, \text{ relativer Fehler } 50\%$$

Grund: LR-Zerlegung ist instabil

Ausweg Spaltenpivotsuche: Vertausche die Zeilen von A:

$$PA = \begin{pmatrix} 0 & 1 \\ 1 & 0 \end{pmatrix} \begin{pmatrix} \delta & 1 \\ 1 & 1 \end{pmatrix} = \begin{pmatrix} 1 & 1 \\ \delta & 1 \end{pmatrix}$$

$$PA = LR = \begin{pmatrix} 1 & 0 \\ \delta & 1 \end{pmatrix} \begin{pmatrix} 1 & 1 \\ 0 & 1 - \delta \end{pmatrix}$$

$$\hat{L} = L$$

$$\hat{R} = \begin{pmatrix} 1 & 1 \\ 0 & 1 \end{pmatrix}$$

$$\Rightarrow \|PA - \hat{L}\hat{R}\|_\infty = \frac{\delta}{2}\|PA\|_\infty$$

### LR-Zerlegung mit Spaltenpivotsuche

Vertausche im  $k$ -ten Schritt (2.2) die  $k$ -te Zeile mit der Zeile  $j \geq k$ , für die gilt:

$$|a_{j,k}^{(k)}| = \max_{k \leq i \leq n} |a_{i,k}^{(k)}|$$

**Satz 2.2.** Der Gauß-Algorithmus mit Spaltenpivotsuche liefert für jede reguläre Matrix  $A$  eine Permutationsmatrix  $P$  sowie  $\Delta$ -Matrizen  $L$  und  $R$ , so daß  $PA = LR$  die LR-Zerlegung von  $PA$  ist. Die Elemente von  $L$  sind betragsmäßig  $\leq 1$ .

Beispiel:

$$\begin{pmatrix} 2 & 1 & 1 \\ 4 & 3 & 3 \\ 8 & 7 & 9 \end{pmatrix}$$

$$\begin{array}{l} \text{Pivot} \\ \rightarrow \\ (3,2,1) \end{array} \begin{pmatrix} 8 & 7 & 9 \\ 4 & 3 & 3 \\ 2 & 1 & 1 \end{pmatrix} \xrightarrow{\text{El.}} \begin{pmatrix} 8 & 7 & 9 \\ \frac{1}{2} & -\frac{1}{2} & -\frac{3}{2} \\ \frac{1}{4} & -\frac{3}{4} & -\frac{5}{4} \end{pmatrix}$$

$$\begin{array}{l} \text{Pivot} \\ \rightarrow \\ (3,1,2) \end{array} \begin{pmatrix} 8 & 7 & 9 \\ \frac{1}{4} & -\frac{3}{4} & -\frac{5}{4} \\ \frac{1}{2} & -\frac{1}{2} & -\frac{2}{2} \end{pmatrix} \xrightarrow{\text{El.}} \begin{pmatrix} 8 & 7 & 9 \\ \frac{1}{4} & -\frac{3}{4} & -\frac{5}{4} \\ \frac{1}{2} & -\frac{2}{3} & -\frac{2}{3} \end{pmatrix}$$

$$\Rightarrow \begin{pmatrix} 0 & 0 & 1 \\ 1 & 0 & 0 \\ 0 & 1 & 0 \end{pmatrix} \begin{pmatrix} 2 & 1 & 1 \\ 4 & 3 & 3 \\ 8 & 7 & 9 \end{pmatrix} = \begin{pmatrix} 1 & 0 & 0 \\ \frac{1}{4} & 1 & 0 \\ \frac{1}{2} & \frac{2}{3} & 1 \end{pmatrix} \begin{pmatrix} 8 & 7 & 9 \\ 0 & -\frac{3}{4} & -\frac{5}{4} \\ 0 & 0 & -\frac{2}{3} \end{pmatrix}$$

### 2.3 Cholesky-Zerlegung

$A \in \mathbb{R}^{n \times n}$  heißt positiv definit ( $A > 0$ ), falls  $A = A^t$  und  $\langle Ax, x \rangle > 0 \forall x \in \mathbb{R}^n \setminus \{0\}$ .



**Satz 2.3.**  $A \in \mathbb{R}^{n \times n}$ ,  $A = A^t$  ist positiv definit  $\Leftrightarrow$

$$\det \begin{pmatrix} a_{1,1} & \cdots & a_{1,k} \\ \vdots & \ddots & \vdots \\ a_{k,1} & \cdots & a_{k,k} \end{pmatrix} > 0 \quad \forall k \in \{1, \dots, n\}$$

**Satz 2.4.** Sei  $A > 0$ . Dann existiert eine untere  $\Delta$ -Matrix  $L$  mit positiven Diagonalelementen, so daß

$$A = LL^t$$

ist. Diese Faktorisierung heißt Cholesky-Zerlegung.

*Beweis:* Induktion über  $n$ :

$n = 1$  :

$$A = \underbrace{a_{1,1}}_{>0} = \sqrt{a_{1,1}} \cdot \sqrt{a_{1,1}} \quad \checkmark$$

$n - 1 \rightarrow n$  :

$$A_{n-1} \in \mathbb{R}^{(n-1) \times (n-1)}, A_{n-1} > 0, c \in \mathbb{R}^{n-1}, a_{n,n} \in \mathbb{R}$$

$$\begin{aligned} A &= \begin{pmatrix} A_{n-1} & c \\ c^t & a_{n,n} \end{pmatrix} \\ &= \begin{pmatrix} L_{n-1} \cdot L_{n-1}^t & c \\ c^t & a_{n,n} \end{pmatrix} \\ &\stackrel{!}{=} \begin{pmatrix} L_{n-1} & 0 \\ r^t & \alpha \end{pmatrix} \begin{pmatrix} L_{n-1}^t & r \\ 0 & \alpha \end{pmatrix} \\ \Leftrightarrow L_{n-1}r &= c \\ \Rightarrow r &= L_{n-1}^{-1}c \end{aligned}$$

$$\begin{aligned} r^t r + \alpha^2 &= a_{n,n} \\ 0 < \det A &= \underbrace{(\det L_{n-1})^2}_{>0} \alpha^2 \\ \Rightarrow \alpha^2 &> 0 \\ \Rightarrow \alpha^2 &= a_{n,n} - r^t r \\ \Rightarrow \alpha &= \sqrt{a_{n,n} - r^t r} \end{aligned}$$

$$A = LL^t \Leftrightarrow a_{i,k} = \sum_{j=1}^k l_{i,j} l_{j,k}, \quad i \geq k$$

Löse diese  $\frac{n(n+1)}{2}$  Gleichungen in der Reihenfolge  $(1, 1), (2, 1), \dots, (n, 1), (2, 2),$

$\dots, (n, 2), \dots, (n, n)$ , d.h. spaltenweise, dann erhalten wir:

$$l_{k,k} = (a_{k,k} - \sum_{j=1}^{k-1} l_{k,j}^2)^{\frac{1}{2}} \text{ für } k = 1, \dots, n$$

$$l_{i,k} = (a_{i,k} - \sum_{j=1}^{k-1} l_{i,j} l_{k,j}) / l_{k,k} \text{ für } i = k + 1, \dots, n$$

### 3 Lineare Ausgleichsprobleme

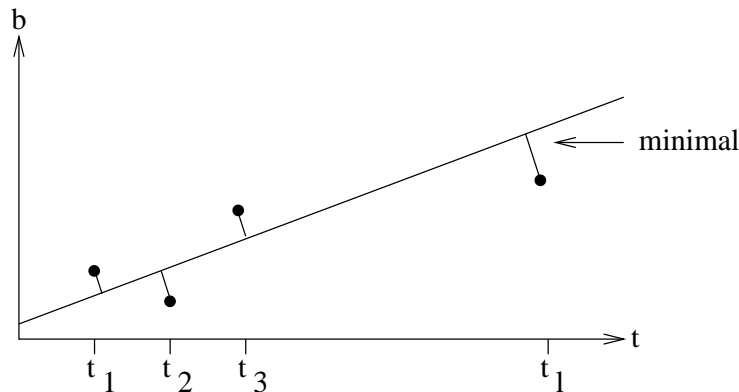
*Problem:*

- Meßdatensatz  $(t_i, b_i) \in \mathbb{R}^d \times \mathbb{R}^k, i = 1, \dots, l$
- Modell  $\varphi(t, x) = b$
- $x \in \mathbb{R}^n$ : Modellparameter

*Beispiel:* Bestimmung eines Ohmschen Widerstandes  
Ohmsches Gesetz:

$$b = x \cdot t = \varphi(t, x)$$

$b$  Spannung,  $t$  Stromstärke,  $x$  Ohmscher Widerstand



Die Messungen  $(t_i, b_i)$  sind mit Meßfehlern behaftet, d.h. sie liegen nicht auf einer Geraden.

Die Steigung der Geraden, die den geringsten Abstand zu den Meßpunkten hat, ist eine vernünftige Approximation an  $x$ .

$$F(x) := \begin{pmatrix} \varphi(t_1, x) - b_1 \\ \vdots \\ \varphi(t_l, x) - b_l \end{pmatrix}, F: \mathbb{R}^n \rightarrow \mathbb{R}^m, m = l \cdot k$$

Finde  $x^* \in \mathbb{R}^n$ :

$$\|F(x^*)\| = \min\{\|F(x)\| \mid x \in \mathbb{R}^n\}, \|\cdot\| = \|\cdot\|_2$$

(Methode der kleinsten Fehlerquadrate; Gauß-Ausgleich)

$\varphi$  sei linear in  $x$ .  $\varphi(t, x) = x_1 \psi_1(t) + \dots + x_k \psi_k(t)$ ,  $\psi_l$  Modellfunktion

$$\Rightarrow F(x) = Ax - b \text{ mit einer Matrix } A \in \mathbb{R}^{m \times n}$$

Lineares Ausgleichsproblem:  $A \in \mathbb{R}^{m \times n}$ ,  $b \in \mathbb{R}^n$ . Finde  $x^* \in \mathbb{R}^n$  :

$$\|Ax^* - b\|_2 = \min_{x \in \mathbb{R}^n} \|Ax - b\|_2 \quad (3.1)$$

$m \geq n$  : überbestimmtes Problem

$m < n$  : unterbestimmtes Problem

**Satz 3.1.** *Es sind äquivalent:*

a)  $x^*$  löst (3.1)

b)  $A^t Ax^* = A^t b$  (Normalgleichung)

c)  $Ax^* = P_A b$ ,  $P_A : \mathbb{R}^m \rightarrow \mathbb{R}^m$  Orthogonalprojektor auf Bild  $A$

*Beweis:* a)  $\Rightarrow$  b) •  $f(x) = \|Ax - b\|_2^2$  ist differenzierbar

•  $x^*$  minimiert  $f \Leftrightarrow \nabla f(x^*) = 0$

•  $f = h \circ g$ ,  $h(x) = \|x\|_2^2$ ,  $g(x) = Ax - b$ ,  $\nabla f(x) = \nabla h(g(x)) \cdot Dg(x)$

•

$$\begin{aligned} \nabla h(x) &= 2x^t, Dg(x) = A \\ \rightarrow \nabla f(x) &= 2(Ax - b)^t A \\ 0 = \nabla f(x^*) &= 2(Ax^* - b)^t A \\ (Ax^* - b)^t \cdot A &= 0 \\ \Leftrightarrow A^t Ax^* &= A^t b \quad \checkmark \end{aligned}$$

b)  $\Rightarrow$  c)

$$\begin{aligned} A^t (Ax^* - b) &= 0 \\ \Rightarrow Ax^* - b &\in \mathcal{N}(A^t) = (\text{Bild } A)^\perp \\ \Rightarrow 0 &= P_A (Ax^* - b) = Ax^* - P_A b \quad \checkmark \end{aligned}$$

c)  $\Rightarrow$  a) Sei  $y \in \mathbb{R}^m$  beliebig,  $P_A b - b \in (\text{Bild } A)^\perp$

$$\begin{aligned} \Rightarrow \|Ay - b\|_2^2 &= \|Ay - P_A b\|_2^2 + \|P_A b - b\|_2^2 \quad (\text{Pythagoras}) \\ &= \|Ay - P_A b\|_2^2 + \|Ax^* - b\|_2^2 \\ &\geq \|Ax^* - b\|_2^2 \quad \checkmark \end{aligned}$$

**Lemma 3.2.** *Die Differenz  $x^* - y^*$  zweier Lösungen von (3.1) liegt im Nullraum  $\mathcal{N}(A)$ :  $A(x^* - y^*) = 0$ .*

*Das Ausgleichsproblem (3.1) hat genau dann eine eindeutige Lösung, wenn  $\mathcal{N}(A) = \{0\}$ . Das kann im unterbestimmten Fall nur für  $n = \text{Rang}(A)$  eintreten.*

**Definition 3.3.** Unter allen Lösungen von (3.1) nennen wir diejenige mit minimaler Norm die Minimum-Norm-Lösung (MNL)  $x^+$  von (3.1).

**Satz 3.4.** Sei  $A \in \mathbb{R}^{m \times n}$ . Die MNL  $x^+$  von (3.1) ist die eindeutige Lösung der Normalgleichung im  $\mathcal{N}(A)^\perp$ . Ist  $\text{Rang}(A) = \min\{m, n\}$ , dann:

$$x^+ = \begin{cases} (A^t A)^{-1} A^t b, & m \geq n \\ A^t (A A^t)^{-1} b, & m < n \end{cases}$$

*Bemerkung:* Für die effiziente und stabile Berechnung von  $x^+$  gibt es Algorithmen, die *nicht* die Normalgleichung lösen (QR-Algorithmus). Beim Übergang von  $A$  zu  $A^t A$  quadriert sich die Kondition und die Injektivität kann verloren gehen:

$$A = \begin{pmatrix} 1 & 1 \\ \delta & 0 \\ 0 & \delta \end{pmatrix}, \quad 0 < \delta \ll 1$$

$$A^t A = \begin{pmatrix} 1 + \delta^2 & 1 \\ 1 & 1 + \delta^2 \end{pmatrix}$$

### QR-Algorithmus

$$A = QR, \quad Q \text{ unitär, } (Q^* Q = I)$$

$$\|Ax - b\|_2 = \|QRx - b\|_2$$

$$= \|Q(Rx - Q^* b)\|_2$$

$$= \|Rx - Q^* b\|_2$$

*Beispiel:* Welcher Punkt liegt drei Geraden im  $\mathbb{R}^2$  am nächsten?

$$G_i = \{x = (x_1, x_2)^t \in \mathbb{R}^2 \mid b_i = a_i x_1 + x_2\}, \quad i = 1, 2, 3; \quad b_i, a_i \in \mathbb{R}$$

*Gesucht:* MNL  $x^+$  von  $Ax^+ = b$  mit

$$A = \begin{pmatrix} a_1 & 1 \\ a_2 & 1 \\ a_3 & 1 \end{pmatrix}, \quad b = \begin{pmatrix} b_1 \\ b_2 \\ b_3 \end{pmatrix}$$

$$\text{Rang}(A) = 2 \Leftrightarrow a_i \neq a_j \text{ für ein Paar } (i, j)$$

$$x^+ = (A^t A)^{-1} A^t b = \frac{1}{3d - c^2} \begin{pmatrix} 3 & c \\ c & d \end{pmatrix} \begin{pmatrix} -\sum_{i=1}^3 a_i b_i \\ b_1 + b_2 + b_3 \end{pmatrix}$$

mit  $d = a_1^2 + a_2^2 + a_3^2$ ,  $c = -(a_1 + a_2 + a_3)$ .

Was passiert, falls  $a_1 = a_2 = a_3$  ist?

## 4 LGS: Krylov-Raum-Verfahren

### 4.1 Verfahren der konjugierten Gradienten: cg-Verfahren

**Generell:**

*Gegeben:*  $A \in \mathbb{R}^{n \times n}$  positiv definit,  $b \in \mathbb{R}^n$ ,

Gesucht:  $x \in \mathbb{R}^n : Ax = b$

$\langle v, w \rangle_A := \langle Av, w \rangle; v, w \in \mathbb{R}^n$  neues Skalarprodukt

$v$  ist  $A$ -orthogonal zu  $w \Leftrightarrow \langle v, w \rangle_A = 0$

$\|v\|_A := \langle v, v \rangle_A^{\frac{1}{2}}$  induzierte Norm

$V_m := \{x^0 + u \mid u \in U_m\}; x^0 \in \mathbb{R}^n, U_m \subset \mathbb{R}^n$   $m$ -dimensionale Teilmenge

Definiere  $x^m \in V_m$  durch:

$$\begin{aligned} \|x^m - x\|_A &= \min\{\|v - x\|_A \mid v \in V_m\} \\ x^m &= x^0 + \xi^m, v = x^0 + u; \xi^m, u \in U_m \end{aligned}$$

Bestimme  $\xi^m \in U_m$  durch:

$$\begin{aligned} \|\xi^m - (x - x^0)\|_A &= \min\{\|u - (x - x^0)\|_A \mid u \in U_m\} \\ \Rightarrow \xi^m &= P_m(x - x^0), P_m : \mathbb{R}^n \rightarrow U_m \quad A\text{-Orthogonalprojektor} \end{aligned}$$

Sei  $\{p^1, \dots, p^m\}$   $A$ -Orthogonalbasis (OGB) von  $U_m$ .

$$\begin{aligned} \Rightarrow x^m &= x^0 + \xi^m = x^0 + P_m(x - x^0) = x^0 + \sum_{j=1}^m \frac{\langle p^j, x - x^0 \rangle_A}{\langle p^j, p^j \rangle_A} p^j \\ &= x^0 + \sum_{j=1}^{m-1} \underbrace{\frac{\langle p^j, r^0 \rangle}{\langle Ap^j, p^j \rangle}}_{\alpha_j} p^j + \alpha_m p^m \end{aligned}$$

$$r^0 = b - Ax^0$$

$$r^m = b - Ax^m \text{ Residuum von } x^m$$

$$\left. \begin{aligned} \Rightarrow x^m &= x^{m-1} + \alpha_m p^m \\ r^m &= r^{m-1} + \alpha_m Ap^m \end{aligned} \right\} \quad (4.1)$$

$$\text{denn: } r^m = A(x - x^m) = A(\underbrace{x - x^{m-1}}_{r^{m-1}} - \alpha_m p^m).$$

*Problem:* Geeignete  $U_m$ , für die sich eine  $A$ -OGB leicht berechnen läßt.

### Krylov-Räume

$$U_0 = \{0\}, U_m = U_m(A, v) = \text{spann}\{v, Av, A^2v, \dots, A^{m-1}v\}, m = 1, \dots, n$$

**Lemma 4.1.** Sei  $U_m = U_m(A, r^0)$  und  $r^m \neq 0$ . Dann gilt:

$$\langle r^i, r^j \rangle = \begin{cases} 0 & i \neq j \\ \|r^i\|_2^2 & i = j \end{cases} \quad i, j \in \{0, \dots, m\}$$

$$U_{m+1} = \text{spann}\{r^0, r^1, \dots, r^m\}$$

$$\dim U_m = m$$

**Konstruktion einer A-OGB von  $U_m(A, r^0)$** 

Sei  $m \geq 0$ ,  $r^m \neq 0$  und  $\{p^1, \dots, p^m\}$  A-OGB von  $U_m$ .

$$\begin{aligned}
 & \stackrel{\text{Lemma(4.1)}}{\Rightarrow} \{p^1, \dots, p^m, r^m\} \text{ ist eine Basis in } U_{m+1} \\
 & \Rightarrow \{p^1, \dots, p^m, p^{m+1}\} \text{ ist A-OGB in } U_{m+1} \\
 & \quad \text{mit } p^{m+1} = r^m - \sum_{j=1}^m \frac{\langle r^m, Ap^j \rangle}{\langle Ap^j, p^j \rangle} p^j \\
 r^m \perp_2 U_m & \Rightarrow \langle r^m, Ap^j \rangle = 0 \text{ f\u00fcr } j < m \\
 & \Rightarrow p^{m+1} = r^m - \underbrace{\frac{\langle r^m, Ap^m \rangle}{\langle Ap^m, p^m \rangle}}_{=: \beta_m} p^m \tag{4.2}
 \end{aligned}$$

**Lemma 4.2.** *Es gelten:*

$$\alpha_m = \frac{\|r^{m-1}\|_2^2}{\|p^m\|_A^2}, \quad \beta_m = \frac{\|r^m\|_2^2}{\|r^{m-1}\|_2^2}$$

**cg-Algorithmus**

zur L\u00f6sung von  $Ax = b$ , Startwert  $x^0$ :

$$\begin{aligned}
 & p^1 = r^0 = b - Ax^0 \\
 & \text{fuer } m = 1, \dots, n \\
 & \{ \\
 & \quad \text{falls } r^{m-1} = 0 : \\
 & \quad \text{STOP} \\
 & \quad a^m = Ap^m, \alpha_m = \|r^{m-1}\|_2^2 / \langle a^m, p^m \rangle \\
 & \quad \left. \begin{aligned} x^m &= x^{m-1} + \alpha_m p^m \\ r^m &= r^{m-1} - \alpha_m a^m \end{aligned} \right\} \tag{4.3}
 \end{aligned}$$

$$\begin{aligned}
 & \beta_m = \|r^m\|_2^2 / \|r^{m-1}\|_2^2 \\
 & p^{m+1} = r^m + \beta_m p^m \tag{4.4} \\
 & \}
 \end{aligned}$$

**Konvergenzanalyse**

$U_m(A, r^0) = \mathbb{R}^n \Rightarrow x^n = x$  (bei exakter Arithmetik)

cg-Verfahren: einerseits: iteratives Verfahren  
andererseits: direktes Verfahren

**Lemma 4.3.** *Es gibt ein  $Q_m \in \Pi_m^*$  (mit  $\Pi_m^* = \{q_m \mid q_m \text{ ist ein Polynom vom Grad } \leq m, q_m(0) = 1\}$ ), so da\u00df*

$$e^m = x^m - x = Q_m(A)e^0, \quad e^0 = x^0 - x$$

ist. Weiter gilt

$$\begin{aligned}\|e^m\|_A &= \|Q_m(A)e^0\|_A \\ &= \min\{\|q_m(A)e^0\|_A \mid q_m \in \Pi_m^*\}\end{aligned}$$

sowie

$$\|e^m\|_A \leq \max_{\lambda \in \sigma(A)} |q_m(\lambda)| \cdot \|e^0\|_A \quad \forall q_m \in \Pi_m^*$$

Hierbei ist  $\sigma(A) = \{\lambda \mid \lambda \text{ ist EW von } A\}$ .

**Satz 4.4.**  $A > 0$  habe nur  $k \leq n$  verschiedene Eigenwerte. Dann gilt:

$$x^k = x$$

*Beweis:*  $\lambda_1, \dots, \lambda_k$  seien die verschiedenen Eigenwerte in  $A$ .

$$\begin{aligned}q_k(t) &= \prod_{j=1}^k (\lambda_j - t)/\lambda_j, \quad q_k(0) = 1 \Rightarrow q_k \in \Pi_k^* \\ q_k(\lambda_i) &= 0 \text{ f\"ur } i = 1, \dots, k \\ \Rightarrow \|e^k\|_A &\leq \max_{\lambda \in \{\lambda_1, \dots, \lambda_k\}} |q_k(\lambda)| \cdot \|e^0\|_A = 0 \\ \Rightarrow x &= x^k \quad \checkmark\end{aligned}$$

**Satz 4.5.** F\"ur  $A > 0$  gilt:

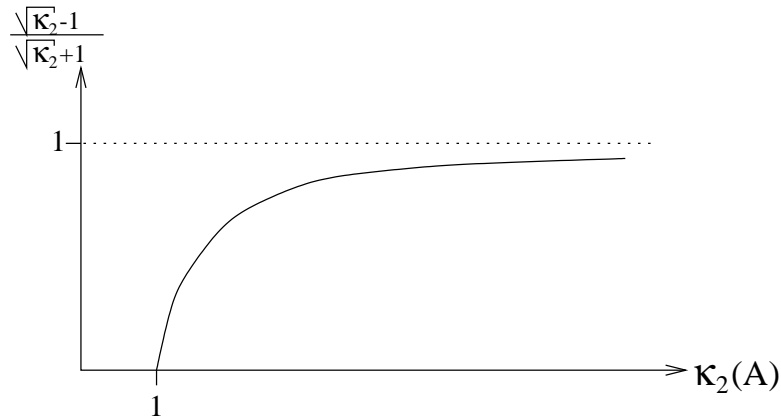
$$\begin{aligned}\|e^m\|_A &< 2 \left( \frac{\sqrt{\kappa_2(A)} - 1}{\sqrt{\kappa_2(A)} + 1} \right)^m \cdot \|e^0\|_A \\ \kappa_2(A) &= \|A\|_2 \|A^{-1}\|_2 \quad \text{Kondition, siehe Kapitel 1} \\ &= \lambda_{\max}(A) / \lambda_{\min}(A)\end{aligned}$$

*Beispiel:*  $A > 0$  habe nur 2 verschiedene Eigenwerte  $\lambda_1 \ll \lambda_2$ .

$$\Rightarrow \kappa_2(A) = \lambda_2 / \lambda_1 \gg 1$$

Satz 4.5 suggeriert eine langsame Konvergenz. Aus Satz 4.4 wissen wir:  $x^2 = x$ .

**Vorkonditionierung**



Je kleiner  $\kappa_2$  desto schneller konvergiert das cg-Verfahren.  
Sei  $B \in \mathbb{R}^{n \times n}$  positiv definit.

$$Ax = b \Leftrightarrow \overline{A}\overline{x} = b, \overline{A} = A \cdot B, x = B\overline{x}$$

**cg-Algorithmus mit vorkonditioniertem  $B$**

$$\begin{aligned} r^0 &= b - Ax^0, p^1 = Br^0, \rho_1 = \langle p^1, r^1 \rangle \\ \text{fuer } m &= 1, \dots, n \\ \{ \\ &\text{falls } r^{m-1} = 0 : \\ &\quad \text{STOP} \\ &\quad a^m = Ap^m, \alpha_m = \rho_m / \langle a^m, p^m \rangle \\ &\quad x^{m+1} = x^m + \alpha_m p^m, r^m = r^{m-1} - \alpha_m a^m \\ &\quad v^m = Br^m, \rho_{m+1} = \langle v^m, r^m \rangle \\ &\quad p^{m+1} = v^m + \frac{\rho_{m+1}}{\rho_m} p^m \\ &\} \end{aligned}$$

**Satz 4.6.** Die Matrix  $B$  erfülle

$$\gamma \langle B^{-1}v, v \rangle \leq \langle Av, v \rangle \leq \Gamma \langle B^{-1}v, v \rangle \quad \forall v \in \mathbb{R}^n$$

mit  $0 < \gamma \leq \Gamma$ . Dann gilt für das mit  $B$  vorkonditionierte cg-Verfahren:

$$\|x^m - x\|_A \leq 2 \left( \frac{\sqrt{\kappa} - 1}{\sqrt{\kappa} + 1} \right)^m \cdot \|x^0 - x\|_A \quad \text{mit } \kappa = \frac{\Gamma}{\gamma}$$

Ein guter Vorkonditionierer erfüllt

- $\kappa_2(B \cdot A) = \frac{\Gamma}{\gamma} \ll \kappa_2(A)$
- $By$  ist "einfach" (hat höchstens die gleiche Komplexität wie  $Ay$ )

## 4.2 Das GMRES-Verfahren

Generalized Minimal RESidual

$$A \in \mathbb{R}^{n \times n} \text{ regulär, } b \in \mathbb{R}^n$$

Die  $k$ -te GMRES-Iterierte  $x^k$  ist definiert durch

$$\| \underbrace{Ax^k - b}_{r^k} \|_2 = \min\{ \|Av - b\|_2 \mid v \in V_k \}$$

$$V_k = x^0 + U_k(A, r^0), U_k(A, r^0) \text{ Krylov-Raum, } r^0 = Ax^0 - b$$



**Satz 4.7.** *Es gilt*

$$\begin{aligned} \|r^k\|_2 &= \min\{\|q_k(A)r^0\|_2 \mid q_k \in \Pi_k^*\} \\ \Rightarrow \|r^k\|_2 &\leq \|q_k(A)\|_2 \|r^0\|_2 \quad \forall q_k \in \Pi_k^* \end{aligned}$$

*Insbesondere gilt der Satz 4.4 analog für das GMRES-Verfahren.*

**Satz 4.8.** *Sei  $A = VDV^{-1}$  eine reguläre, diagonalisierbare Matrix:*

$$(D = \text{diag}(\lambda_1, \dots, \lambda_n), \lambda_i \in \mathbb{C}, V \in \mathbb{C}^{n \times n})$$

*Dann gilt:*

$$\|r^k\|_2 \leq \kappa_2(V) \cdot \max_{1 \leq i \leq n} |q_k(\lambda_i)| \cdot \|r^0\|_2 \quad \forall q \in \Pi_k^*$$

*Beweis:*

$$\begin{aligned} \|q_k(A)\|_2 &= \|Vq_k(D) \cdot V^{-1}\|_2 \leq \|V\|_2 \cdot \|V^{-1}\|_2 \cdot \|\text{diag}(q_k(\lambda_1), \dots, q_k(\lambda_n))\|_2 \\ &= \kappa_2(V) \cdot \max_{1 \leq i \leq n} |q_k(\lambda_i)| \quad \checkmark \end{aligned}$$

(Bem.:  $A$  normal ( $AA^t = A^tA$ )  $\Rightarrow \kappa_2(V) = 1$ )

**Satz 4.9.** *Falls  $\|I - A\|_2 \leq \rho < 1$ :*

$$\Rightarrow \|r^k\|_2 \leq \rho^k \|r^0\|_2$$

*Beweis:*

$$\begin{aligned} q_k(t) &= (1 - t)^k \in \Pi_k^* \\ \Rightarrow \|r^k\|_2 &\leq \|q_k(A)\|_2 \cdot \|r^0\|_2 \\ &= \|(I - A)^k\|_2 \cdot \|r^0\|_2 \\ &\leq \|I - A\|_2^k \cdot \|r^0\|_2 \\ &\leq \rho^k \|r^0\|_2 \quad \checkmark \end{aligned}$$

### Vorkonditionierung

$$Ax = b \rightsquigarrow MAx = Mb$$

Ein guter Vorkonditionierer erfüllt drei Bedingungen:

- i)  $\kappa_2(MA) \ll \kappa_2(A)$   
( $\Rightarrow$  vorkonditionierte Residuen der GMRES-Iteration sind gute Fehlerindikatoren)
- ii)  $\|I - MA\|_2 < 1$
- iii)  $Mv$  "einfach"

**Aspekte der Implementierung**

Orthonormalisierung von  $U_k(A, r^0) = \text{spann}\{r^0, Ar^0, A^2r^0, \dots, A^{k-1}r^0\}$

1.  $r^0 = b - Ax^0$ ,  $p^1 = r^0 / \|r^0\|_2$
2. für  $i = 1, \dots, k-1$

$$\tilde{p}^{i+1} := Ap^i - \sum_{j=1}^i \langle Ap^i, p^j \rangle_2 \cdot p^j$$

Falls  $\tilde{p}^{i+1} \neq 0$ :  $p^{i+1} = \tilde{p}^{i+1} / \|\tilde{p}^{i+1}\|_2$ .

**Satz 4.10.**  $\{q^j\}_{1 \leq j \leq i}$  sei nach obigem Verfahren konstruiert.  
Falls  $\tilde{p}^{i+1} = 0$  ist, dann ist

$$x = A^{-1}b \in V_i = x^0 + U_i(A, r^0), \text{ d.h. } x^i = x$$

Die Orthogonalisierung bricht nur ab, wenn  $x^i$  bereits die Lösung ist.

$$P_k = (p^1, \dots, p^k) \in \mathbb{R}^{n \times k}$$

$$x^k = x^0 + P_k z^k$$

(wobei  $z^k \in \mathbb{R}^k$  das lineare Ausgleichsproblem

$$\| \underbrace{b - A(x^0 + P_k z^k)}_{=r^0 - AP_k z^k} \|_2 = \min_{z \in \mathbb{R}^k} \|r^0 - AP_k z^k\|_2 \quad (4.5)$$

$$\text{löst.}) \quad (4.6)$$

**Lemma 4.11.**  $AP_k = P_{k+1}H_k$  mit  $H_k \in \mathbb{R}^{(k+1) \times k}$  und

$$(H_k)_{j,i} = \begin{cases} 0 & j > i+2 \\ \langle Ap^i, p^j \rangle & \text{sonst} \end{cases}$$

$$\Rightarrow H_k = \begin{pmatrix} * & * & * & * \\ * & * & * & * \\ 0 & * & * & * \\ 0 & 0 & * & * \\ 0 & 0 & 0 & * \end{pmatrix} \quad \text{obere Hessenberg-Matrix}$$

Sei  $e_1 = (1, 0, \dots, 0)^t$ , dann gilt  $r^0 = \underbrace{\|r^0\|_2}_{=: \beta} \cdot \underbrace{P_k e_1}_{=: p^1}$

$$\begin{aligned} \Rightarrow r^k &= b - Ax^k \\ &= r^0 - A \underbrace{(x^k - x^0)}_{=P_k z^k} \\ &= \beta P_{k+1} e_1 - \underbrace{AP_{k+1} z^k}_{=P_{k+1} H_k} \\ &= P_{k+1} (\beta e_1 - H_k z^k) \\ \Rightarrow \|r^k\|_2 &= \|\beta e_1 - H_k z^k\|_2 \end{aligned}$$

Statt (4.5) müssen wir das einfachere Problem

$$\|\beta e_1 - H_k z^k\|_2 = \min_{z \in \mathbb{R}^k} \|\beta e_1 - H_k z\|_2$$

lösen.

### Algorithmus GMRES

$r^0 = b - Ax^0$ ,  $\beta = \|r^0\|_2$ ,  $\rho = \beta$ ,  $p^1 = r^0/\beta$ ,  $k = 0$   
 solange ( $\rho > \varepsilon \cdot \beta$  und  $k \leq k_{\max}$ ) \*  $\varepsilon > 0$  Abbruchtoleranz \*  
\*  $k_{\max}$  max. Schrittzahl \*  
 {  
    $k = k + 1$ ,  $p^{k+1} = Ap^k$   
   fuer  $j = 1, \dots, k$   
   {  
      $h_{j,k} = \langle p^{k+1}, p^j \rangle$  | \* stabilisiertes Gram-Schmidt-Verfahren \* |  
      $p^{k+1} = p^{k+1} - h_{j,k} p^j$   
   }  
    $h_{k+1,k} = \|p^{k+1}\|_2$ ,  $p^{k+1} = p^{k+1}/h_{k+1,k}$   
   Minimiere  $\|\beta e_1 - H_k z\|_2$  ueber  $\mathbb{R}^k$ , um  $z^k$  zu erhalten  
    $\rho = \|\beta e_1 - H_k z^k\|_2$  | \*  $\rho = \|b - Ax^k\|_2$  \* |  
 }  
 $x^k = x^0 + P_k z^k$

*Bemerkung:* Die Krylov-Raum-Basis  $\{p^1, \dots, p^k\}$  muß während der Iteration gespeichert werden. Daher legt man eine Maximalschrittzahl  $k_{\max}$  fest. Hat  $x^{k_{\max}}$  nicht die gewünschte Genauigkeit, so starte GMRES erneut mit  $x^0 = x^{k_{\max}}$ .

## 5 Nichtlineare Gl.-Systeme: Newton-Verfahren

Abstraktes Problem:  $F : D \rightarrow \mathbb{R}^n$ ,  $D \subset \mathbb{R}^n$  offen. Finde

$$x^* \in D : F(x^*) = 0 \tag{5.1}$$

Sei  $x^{\text{alt}} \in D$  eine Näherung an  $x^* \in D$ .

*Ziel:* Verbesserung von  $x^{\text{alt}}$ .

$$F(x^{\text{alt}}) = F(x^{\text{alt}}) - \underbrace{F(x^*)}_{=0} \approx F'(x^{\text{alt}})(x^{\text{alt}} - x^*)$$

$$\text{mit } F'(x) = \left\{ \frac{\partial F_i}{\partial x_j} \right\}_{i,j} \quad \text{Jacobi-Matrix}$$

Bestimme  $x^{\text{neu}}$  daher durch

$$\begin{aligned} F(x^{\text{alt}}) &= F'(x^{\text{alt}})(x^{\text{alt}} - x^{\text{neu}}) \\ \Leftrightarrow x^{\text{neu}} &= x^{\text{alt}} - F'(x^{\text{alt}})^{-1}F(x^{\text{alt}}) \end{aligned}$$

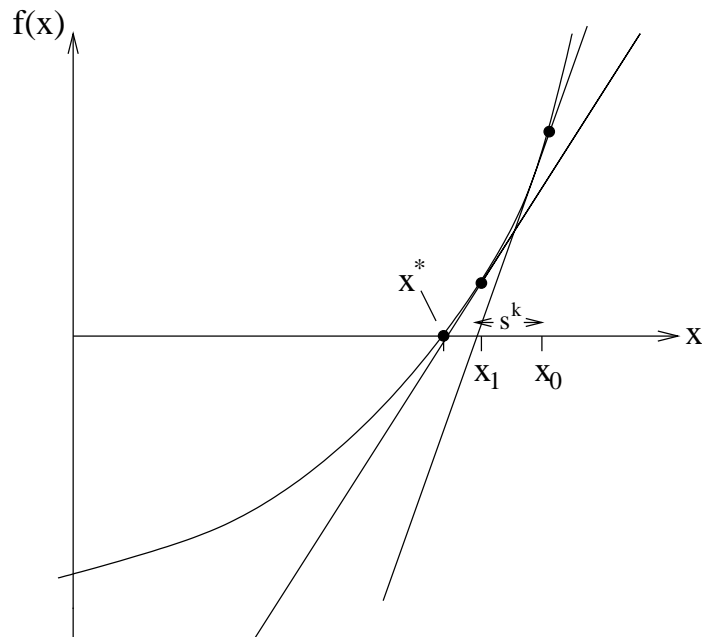
### Newton-Verfahren

Sei  $x^0$  beliebig. Für  $k = 0, 1, \dots$ :

$$\begin{aligned} x^{k+1} &= x^k + s^k \\ F'(x^k)s^k &= -F(x^k) \end{aligned} \tag{5.2}$$

$s^k$ :  $k$ -ter Newton-Schritt (oder -korrektur)

### Graphische Interpretation ( $n = 1$ )



*Beispiel:*

$$\begin{aligned} f(t) &= t^2 - a, \quad a > 0 \\ f(t^*) &= 0 \Leftrightarrow t^* = \pm\sqrt{a} \\ x^{k+1} &= \frac{x^k - [(x^k)^2 - a]}{f'(x^k) = 2x^k} \\ &= \frac{1}{2} \left( x^k + \frac{a}{x^k} \right) \quad \text{Verfahren von Heron} \end{aligned}$$

Falls  $x^0 > 0$ :  $\lim_{k \rightarrow \infty} x^k = \sqrt{a}$ . Sei  $a = 2$ :

$k$	$x^k$	$ x^k - \sqrt{2} $
0	2	0.58
1	1.5	0.086
2	1.4166	0.0025
3	1.4142157	$2.4 \cdot 10^{-6}$
4	1.4142136	exakt bis auf TR-Genauigkeit
$\vdots$	$\vdots$	$\vdots$

**Voraussetzungen an  $F$** 

- a) Gleichung (5.1) hat eine Lösung  $x^* \in D$   
 b)  $F' : D \rightarrow \mathbb{R}^{n \times n}$  ist Hölderlin-stetig der Ordnung  $\alpha \in ]0, 1]$  :

$$\|F'(x) - F'(y)\| \leq \gamma \|x - y\|^\alpha$$

- c)  $F'(x^*)$  ist regulär

$$B(\delta) = \{x \in \mathbb{R}^n \mid \|x - x^*\| \leq \delta\}$$

**Satz 5.1.**  $F$  erfülle die Voraussetzungen.  $\{x^k\}$  sei die Newtonfolge (5.2). Dann gibt es ein  $\delta > 0$ , so daß  $\lim_{k \rightarrow \infty} x^k = x^*$ , falls  $x^0 \in B(\delta)$ . Außerdem ist  $x^*$  die einzige Nullstelle von  $F$  in  $B(\delta)$ . Weiter gilt:

$$\|x^{k+1} - x^*\| \leq c_N \cdot \|x^k - x^*\|^{1+\alpha}, \quad k = 0, 1, \dots$$

mit  $c_N = 2\gamma \cdot \|F'(x^*)^{-1}\| / (1 + \alpha)$  ( $\alpha = 1$  : quadratische Konvergenz;  $0 < \alpha < 1$  : superlineare Konvergenz).

*Beweis:* Wir zeigen nur die Fehlerabschätzung.

$$\begin{aligned} e^k &:= x^k - x^*, \quad x^k \in B(\delta) \subset D \\ e^{k+1} &= e^k - F'(x^k)^{-1} \underbrace{(F(x^k) - F(x^*))}_{= \int_0^1 F'(x^* + te^k) e^k dt} \\ &\Rightarrow e^{k+1} = F'(x^k)^{-1} \cdot \int_0^1 (F'(x^k) - F'(x^* - te^k)) e^k dt \\ &\Rightarrow \|e^{k+1}\| \leq \|F'(x^k)^{-1}\| \cdot \gamma \cdot \|e^k\|^{1+\alpha} \cdot \underbrace{\int_0^1 (1-t)^\alpha dt}_{= \frac{1}{1+\alpha}} \end{aligned}$$

Für  $\delta$  hinreichend klein gilt:

$$\begin{aligned} \|F'(y)^{-1}\| &\leq 2\|F'(x^*)^{-1}\| \quad \forall y \in B(\delta) \\ &\Rightarrow \|e^{k+1}\| \leq \underbrace{\frac{2\gamma}{1+\alpha} \|F'(x^*)^{-1}\|}_{= c_N} \cdot \|e^k\|^{1+\alpha} \end{aligned}$$

Hieraus folgen induktiv die anderen Aussagen des Satzes.  $\checkmark$

$$A \in \mathbb{R}^{n \times n} \text{ regulär} \Rightarrow F(x^*) = 0 \Leftrightarrow \underbrace{AF(x^*)}_{G(x^*)} = 0$$

$$x - G'(x)^{-1}G(x) = x - F'(x)F(x)$$

$\Rightarrow$  Die Newtonfolge  $\{x^k\}$  ändert sich nicht, wenn  $F$  mit einer regulären Matrix multipliziert wird. Das Newtonverfahren ist *affin-invariant*.

Die Konvergenz von  $\{x^k\}$  hängt von  $x^0$  ab. Wie kann man während der Iteration feststellen, ob das Newtonverfahren konvergiert?

$$F(x^*) = 0 \Leftrightarrow \|F(x)\| \rightarrow \text{minimieren}$$

*Idee:* Setze Iteration fort, solange

$$\|F(x^{k+1})\| \leq \vartheta \|F(x^k)\| \quad (5.3)$$

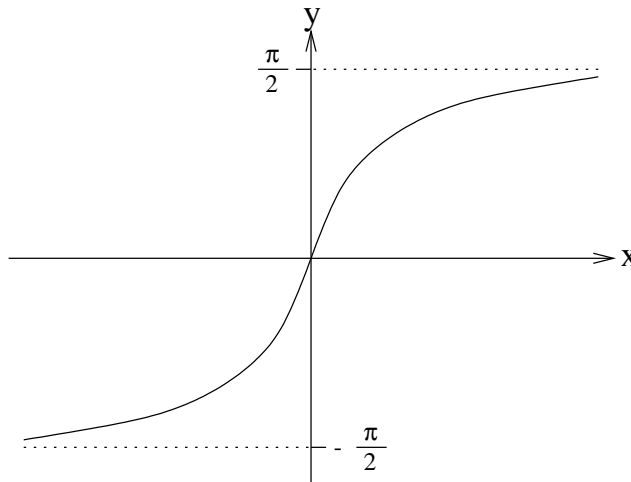
für ein  $\vartheta \in ]0, 1]$ .

Der Monotonietest ist nicht affin-invariant. Ersetze (5.3) durch

$$\|F'(x^k)^{-1}F(x^{k+1})\| \leq \vartheta \underbrace{\|F'(x^k)^{-1}F(x^k)\|}_{=: -s^k} \quad (5.4)$$

Stoppe das Newton-Verfahren, falls (5.4) verletzt ist, oder falls  $\underbrace{\|s^k\|}_{\approx \|e^k\|} \leq \text{tol}$  ist.

*Beispiel:* Betrachte  $f(x) = \arctan x$ ,  $x^* = 0$ . Newton-Folge mit  $x^0 = 10$ :



$$x^1 = -138, x^2 = 2.9 \cdot 10^4, x^3 = -1.5 \cdot 10^9, \dots$$

Woran scheitert die Konvergenz?

$$s^k = -f(x^k)/f'(x^k), |x^k| \gg 1$$

$$f'(x^k) = (1 + (x^k)^2)^{-1} \ll 1, |f(x^k)| \approx \frac{\pi}{2}$$

$\Rightarrow |s^k|$  ist zu groß.

*Beobachtung:*  $s^k$  zeigt von  $x^k$  in Richtung von  $x^*$ .

*Idee:* Dämpfe das Newton-Verfahren:

$$x^{k+1} = x^k + \lambda s^k, 0 < \lambda \leq 1$$

**Globales Newton-Verfahren**

```

k = 0, x0 ∈ D
while (||F(xk)|| > ε||F(x0)||)
{
  F'(xk)sk = -F(xk), λ = 1
  (*) y = xk + λsk
  if (||F(y)|| < (1 - βλ) · ||F(xk)||)
    xk+1 = y
  else
  {
    verkleinere λ (z.B. λ = λ/2)
    goto (*)
  }
  k = k + 1
}

```

**Fixpunktiteration**

Newton-Verfahren:

$$x^{k+1} = \Phi(x^k) \text{ mit } \Phi(x) = x - F'(x)^{-1}F(x)$$

$$F(x^*) = 0 \Leftrightarrow \Phi(x^*) = x^*, x^* \text{ ist Fixpunkt von } \Phi$$

Sei nun  $\Phi : D \rightarrow \mathbb{R}^n$ ,  $D \subset \mathbb{R}^n$  eine beliebige Abbildung. *Fixpunktproblem*: Finde

$$x^* \in D : \Phi(x^*) = x^*$$

*Fixpunktiteration*:

$$x^{k+1} = \Phi(x^k), k = 0, 1, \dots; x^0 \in D \quad (5.5)$$

**Lemma 5.2.** Sei  $\Phi$  stetig und  $\{x^k\}$  aus (5.5) konvergiere gegen  $\xi$ . Dann gilt  $\Phi(\xi) = \xi$ .

*Beweis*:

$$\xi = \lim_{k \rightarrow \infty} x^{k+1} = \lim_{k \rightarrow \infty} \Phi(x^k) \stackrel{\text{Stetigkeit}}{=} \Phi(\xi) \quad \checkmark$$

Wann konvergiert (5.5)?

**Definition 5.3.**  $g : D \rightarrow \mathbb{R}^n$ ,  $D \subset \mathbb{R}^n$  heißt *Kontraktion bezüglich*  $\|\cdot\|$  falls ein  $0 \leq q < 1$  existiert mit

$$\|g(x) - g(y)\| \leq q\|x - y\| \quad \forall x, y \in D$$

$q$  heißt *Kontraktionszahl*.

**Lemma 5.4.**  *$D$  konvex, offen;  $g : D \rightarrow \mathbb{R}^n$  stetig, differenzierbar.*

*Ist  $q = \sup_{x \in D} \|g'(x)\| < 1$ , dann ist  $g$  eine Kontraktion bezüglich  $\|\cdot\|$  mit Kontraktionszahl  $q$ .*

*Beweis:* Mittelwertsatz in Integralform.

*Beispiel:*

$$\begin{aligned}\Phi(x_1, x_2) &= \left( e^{-\frac{1}{2}(x_1+x_2)}, \frac{1}{3} \sin(x_1 + x_2) \right)^t \\ \Phi'(x_1, x_2) &= \begin{pmatrix} -\frac{1}{2}e^{-\frac{1}{2}(x_1+x_2)} & -\frac{1}{2}e^{-\frac{1}{2}(x_1+x_2)} \\ \frac{1}{3}\cos(x_1 + x_2) & \frac{1}{3}\cos(x_1 + x_2) \end{pmatrix} \\ \|\Phi'(x_1, x_2)\|_\infty &= \max \left\{ e^{-\frac{1}{2}(x_1+x_2)}, \frac{2}{3} |\cos(x_1 + x_2)| \right\}\end{aligned}$$

$$D = \{x \in \mathbb{R}^2 \mid x_1 + x_2 > a > 0\} \text{ konvex offen}$$

$\Rightarrow \Phi : D \rightarrow \mathbb{R}^n$  ist Kontraktion bezüglich  $\|\cdot\|_\infty$ .

*Beispiel:*  $\Phi(x) = x - F'(x)^{-1}F(x)$ ,  $F$  stetig differenzierbar.

$$\frac{\partial \Phi_i}{\partial x_k} = \delta_{i,k} - \sum_{j=1}^n \frac{\partial}{\partial x_k} (F'(x)^{-1})_{i,j} \cdot F_j(x) - \sum_{j=1}^n (F'(x)^{-1})_{i,j} \frac{\partial}{\partial x_k} F_j(x)$$

Sei  $x^*$  eine Nullstelle von  $F$ .

$$\begin{aligned}\Rightarrow \Phi'(x^*) &= I - F'(x^*)^{-1} \cdot F'(x^*) = 0 \\ \Rightarrow \Phi &\text{ ist Kontraktion in der Umgebung von } x^*.\end{aligned}$$

**Satz 5.5 (Banachscher Fixpunktsatz).** *Sei  $D \subset \mathbb{R}^n$  abgeschlossen,  $\Phi : D \rightarrow D$  eine Kontraktion bezüglich  $\|\cdot\|$  mit Kontraktionszahl  $q$ . Dann hat  $\Phi$  genau einen Fixpunkt in  $x^* \in D$ .*

*Die Fixpunktiteration (5.5) konvergiert gegen  $x^*$  für jedes  $x^0 \in D$ . Es gelten folgende Fehlerabschätzungen:*

$$\begin{aligned}\|x^* - x^k\| &\leq \frac{q^k}{1-q} \|x^* - x^0\| \\ \|x^* - x^k\| &\leq \frac{q}{1-q} \|x^k - x^{k-1}\|\end{aligned}$$

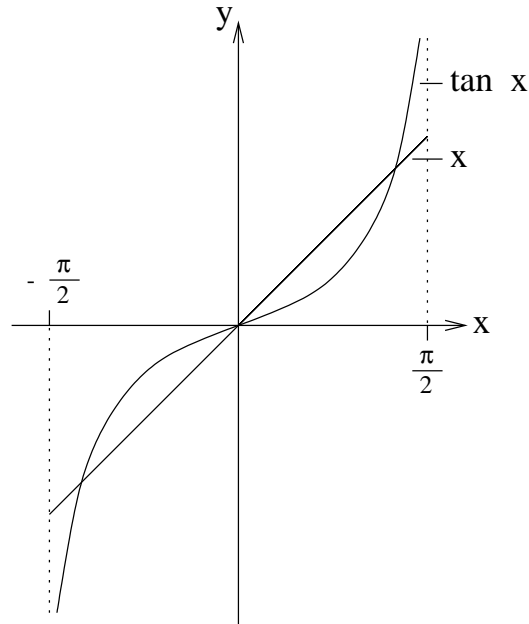
*Beweis:* Annahme: Es gibt zwei Fixpunkte  $x^*, \bar{x} \in D$  von  $\Phi$ .

$$\|x^* - \bar{x}\| = \|\Phi(x^*) - \Phi(\bar{x})\| \leq q \|x^* - \bar{x}\| \Rightarrow 1 \leq q \quad \Downarrow$$

Rest siehe Literatur.  $\checkmark$



Beispiel: Finde  $x^* \in [\frac{\pi}{2}, \frac{3\pi}{2}] : \tan x^* = x^*$ .



$$\Phi(x) = \tan x, \Phi'(x) = 1 + \tan^2 x \geq 1 \Rightarrow \Phi \text{ ist keine Kontraktion.}$$

Ausweg: Formuliere Problem mit  $\Phi^{-1}$ .

$$x = \tan x \Leftrightarrow x = \tan(x - \pi) \Leftrightarrow x = \pi + \arctan x$$

Finde  $x^* \in [\frac{\pi}{2}, \frac{3\pi}{2}] : \pi + \arctan x^* = x^*$ :

$$\begin{aligned} \Phi(x) &= \pi + \arctan x \\ \Rightarrow \Phi' &= (1 + x^2)^{-1} \\ \Rightarrow \max_{x \in [\frac{\pi}{2}, \frac{3\pi}{2}]} |\Phi'| &< 1 \\ \Rightarrow \Phi &\text{ ist Kontraktion} \\ \Phi(\mathbb{R}) &= [\frac{\pi}{2}, \frac{3\pi}{2}] \\ \Rightarrow \Phi([\frac{\pi}{2}, \frac{3\pi}{2}]) &\subset [\frac{\pi}{2}, \frac{3\pi}{2}] \\ \Rightarrow \text{Die Voraussetzungen von Satz 5.5 sind erf\u00fcllt:} \\ x^0 &= \pi \Rightarrow x^4 = 4.4934 \end{aligned}$$

**Satz 5.6 (lokaler Konvergenzsatz).**  $\Phi : \mathbb{R}^n \rightarrow \mathbb{R}^n$  stetig differenzierbar und habe einen Fixpunkt  $x^*$ ,  $\|\Phi'(x^*)\| < 1$ .

Dann gibt es eine abgeschlossene Umgebung  $D$ , in der gilt:

- $\Phi$  ist eine Kontraktion
- $\Phi(D) \subset D$

d.h. die Fixpunktiteration (5.5) konvergiert gegen  $x^*$  f\u00fcr jedes  $x^0 \in D$ .

*Bemerkung:* Mit diesem Satz kann man die lokale Konvergenz des Newton-Verfahrens zeigen.

*Beweis:* a)  $x \mapsto \|\Phi'(x)\|$  stetig

$$\begin{aligned} \Rightarrow \exists \delta > 0 : \|\Phi'(x)\| \leq q < 1 \quad \forall x \in D = \{x \in \mathbb{R}^n \mid \|x - x^*\| \leq \delta\} \\ \Rightarrow \Phi \text{ ist Kontraktion in } D \end{aligned}$$

b) Sei  $y \in D$ . Zu zeigen:  $\Phi(y) \in D$ .

$$\begin{aligned} \|\Phi(y) - x^*\| &= \|\Phi(y) - \Phi(x^*)\| \leq q \|y - x^*\| \leq q \cdot \delta < \delta \\ \Rightarrow \Phi(y) &\in D \quad \checkmark \end{aligned}$$

## 6 Interpolation und Approximation

*Situation:* Von  $f : \mathbb{R} \rightarrow \mathbb{R}$  sind nur  $f(t_i)$  und eventuell Ableitungen  $f^{(j)}(t_i)$  bekannt.  $f, t_i \in \mathbb{R}, 0 \leq i \leq n$ .

*Problem:* Was ist eine vernünftige Approximation an  $f(t)$  für  $t \notin \{t_1, \dots, t_n\}$ ?

*Anwendung:*

- Logarithmentafeln (historisch)
- Computergrafik (Repräsentation geometrischer Objekte)
  - CAD
  - CAM
  - ...

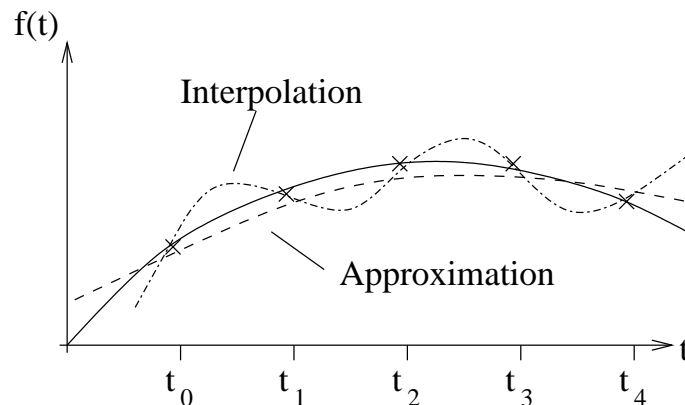
*Aufgabe:* Konstruiere  $\varphi : \mathbb{R} \rightarrow \mathbb{R}$  einfach (z.B. Linearkombinationen von stückweisen Polynomen, Exponentialfunktionen oder rationalen Funktionen), die entweder

$$\varphi^{(j)}(t_i) = f^{(j)}(t_i) \quad (\text{Interpolation})$$

oder

$$\|\varphi - f\| \text{ "klein"} \quad (\text{Approximation})$$

erfüllt.  $t_i$  heißen *Knoten* oder *Stützstellen*,  $f^{(j)}(t_i)$  heißen *Stützwerte*.



## 6.1 Polynominterpolation

Gegeben:

$$f_i = f(t_i), i = 0, \dots, n; t_0 < t_1 < \dots < t_n$$

Gesucht:  $D \in \Pi_n = \{\text{Polynome vom Grad } n\}$  mit

$$P(t_i) = f_i, 0 \leq i \leq n$$

**Satz 6.1.**  $(t_i, f_i) \in \mathbb{R}^2, 0 \leq i \leq n$  mit  $t_i \neq t_j \forall j \in \{0, \dots, n\} \setminus \{i\}$   
 $\Rightarrow$  Es gibt genau ein  $P = P(f|t_0, \dots, t_n) \in \Pi_n$  mit  $P(t_i) = f_i, i = 0, \dots, n$ .

*Beweis:* a) Eindeutigkeit:  $P, Q \in \Pi_n$  mit  $P(t_i) = f_i = Q(t_i)$

$$\begin{aligned} \Rightarrow \Delta = P - Q \in \Pi_n \text{ und } \Delta(t_i) &= 0, i = 0, \dots, n \\ \Rightarrow \Delta &= 0 \end{aligned}$$

b) Existenz:  $\Pi_n = \text{spann}\{1, t, t^2, \dots, t^n\}$  monomiale Basis

$$\begin{aligned} P(t) &= a_n t^n + a_{n-1} t^{n-1} + \dots + a_1 t + a_0 \\ P(t_i) &= f_i, i = 0, \dots, n \\ \Leftrightarrow \underbrace{\begin{pmatrix} 1 & t_0 & t_0^2 & \dots & t_0^n \\ \vdots & t_1 & \vdots & & \vdots \\ \vdots & \vdots & \vdots & & \vdots \\ 1 & t_n & t_n^2 & \dots & t_n^n \end{pmatrix}}_{=: V \in \mathbb{R}^{(n+1) \times (n+1)}} \begin{pmatrix} a_0 \\ \vdots \\ a_n \end{pmatrix} &= \begin{pmatrix} f_0 \\ \vdots \\ f_n \end{pmatrix} \end{aligned}$$

$V$  heißt Vandermonde-Matrix

aus a) folgt  $\mathcal{N}(V_n) = \{0\}$

$$\Rightarrow V_n^{-1} \text{ ex.} \Rightarrow (a_0, \dots, a_n)^t = V_n^{-1} (f_0, \dots, f_n)^t \quad \checkmark$$

Die Bestimmung von  $P(f|t_0, \dots, t_n)$  aus obigem System ist zu aufwendig.

$\Pi_n = \text{spann}\{L_{n,0}, \dots, L_{n,n}\}, L_{n,i}$  Lagrange-Basis bzgl.  $t_0, \dots, t_n$

$$\begin{aligned} L_{n,k}(t) &= \prod_{\substack{j=0 \\ j \neq k}}^n \frac{t - t_j}{t_k - t_j}, L_{n,k}(t_i) = \begin{cases} 1 & i = k \\ 0 & \text{sonst} \end{cases} \\ \Rightarrow P &= P(f|t_0, \dots, t_n) = \sum_{k=0}^n f_k L_{n,k}(t), \text{ denn} \\ P(t_i) &= \sum_{k=0}^n f_k L_{n,k}(t_i) = f_i, 0 \leq i \leq n \end{aligned}$$

**Lemma 6.2 (Lemma von Aitken).**  $(t_i, f_i) \in \mathbb{R}^2, t_0 < t_1 < \dots < t_n$ . Dann gilt

$$P(f|t_0, \dots, t_n)(t) = \frac{(t_0 - t)P(f|t_1, \dots, t_n)(t) - (t_n - t)P(f|t_0, \dots, t_{n-1})(t)}{t_0 - t_n}$$

*Beweis:* Sei  $\varphi$  rechte Seite von oben  $\Rightarrow \varphi \in \Pi_n$

$$\varphi(t_0) = \frac{-(t_n - t_0)}{t_0 - t_n} f_0 = f_0, \text{ analog } \varphi(t_n) = f_n$$

Sei  $1 \leq i \leq n-1$ :

$$\varphi(t_i) = \frac{(t_0 - t_i)f_i - (t_n - t_i)f_i}{t_0 - t_n} = f_i$$

$$\stackrel{\text{Satz 6.1}}{\Rightarrow} \varphi = P(f|t_0, \dots, t_n) \quad \checkmark$$

Sei  $t \in \mathbb{R}$  fest.  $P_{i,k} := P(f|t_{i-k}, \dots, t_i)$ ,  $i \geq k$ . Es ist  $P_{i,0} = f_i$  und  $P_{n,n} = P(f|t_0, \dots, t_n)(t)$ .  $P_{n,n}$  läßt sich rekursiv berechnen.

### Schema von Neville

$$P_{i,0} = f_i, \quad i = 0, \dots, n$$

$$P_{i,k} = \frac{(t_{i-k} - t)P_{i,k-1} - (t_i - t)P_{i-1,k-1}}{t_{i-k} - t_i}$$

$$= P_{i,k-1} + \frac{t - t_i}{t_i - t_{i-k}} (P_{i,k-1} - P_{i-1,k-1}), \quad i \geq k$$

$$\begin{array}{ccccccc} f_0 & = & P_{0,0} & & & & \\ & & & \searrow & & & \\ f_1 & = & P_{1,0} & \rightarrow & P_{1,1} & & \\ & & & & \searrow & & \\ & & \vdots & & \vdots & \dots & \\ & & & \searrow & & \searrow & \\ f_{n-1} & = & P_{n-1,0} & \rightarrow & \dots & \rightarrow & P_{n-1,n-1} \\ & & & \searrow & & & \\ f_n & = & P_{n,0} & \rightarrow & P_{n,1} & \rightarrow & \dots & P_{n,n-1} & \rightarrow & P_{n,n} \end{array}$$

**Satz 6.3.** Sei  $f \in C^{n-1}(a, b)$ ,  $a < t_0 < \dots < t_n < b$ .

Für  $t \in [a, b]$  gibt es ein  $\tau = \tau(t) \in ]a, b[$ , so daß

$$f(t) - P(f|t_0, \dots, t_n)(t) = \frac{f^{(n-1)}(\tau)}{(n-1)!} \omega(t)$$

mit  $\omega = \prod_{i=0}^n (t - t_i)$  ist Newton-Polynom.

*Beweis:* Sei  $t \in \{t_0, \dots, t_n\}$

$$F(x) := f(x) - P(f|t_0, \dots, t_n)(x) - k \cdot \omega(x)$$

$k = k(t)$  sei so bestimmt, daß  $F(t) = 0$ .

$$\Rightarrow F(t_i) = 0, \quad i = 0, \dots, n \text{ und } F(t) = 0$$

$$\Rightarrow F \text{ hat } n+2 \text{ Nullstellen}$$

$$\Rightarrow F' \text{ hat } n+1 \text{ Nullstellen}$$

$$\Rightarrow F'' \text{ hat } n \text{ Nullstellen}$$

$$\Rightarrow F^{(n+1)} \text{ hat mindestens eine Nullstelle, diese sei } \tau$$

Wegen  $P^{(n+1)}(f|t_0, \dots, t_n) = 0$  folgt

$$0 = F^{(n+1)}(\tau) = f^{(n+1)}(\tau) - k \cdot \underbrace{(n+1)!}_{\omega(n+1)}$$

$$\Rightarrow k = \frac{f^{(n+1)}(\tau)}{(n+1)!}$$

**Korollar 6.4.**

$$\|f - P(f|t_0, \dots, t_n)\|_\infty \leq \sup_{\tau \in [0, n]} \frac{|f^{(n+1)}(\tau)|}{(n+1)!} \cdot \|\omega\|_\infty$$

Für festes  $n$  hängt der Fehler noch von  $\omega$  ab, das heißt von der Lage der Stützstellen.

**Satz von Faber.** Zu jeder Folge  $\{t_0^{(n)}, \dots, t_n^{(n)}\}_{n \in \mathbb{N}}$  von Knoten in  $[a, b]$  existiert ein  $f \in (a, b)$  so, daß

$$P(f|t_0^{(n)}, \dots, t_n^{(n)})$$

nicht gleichmäßig gegen  $f$  konvergiert für  $n \rightarrow \infty$ .

## 6.2 Splines und Splineinterpolation

Nachteile der Polynominterpolation:

- starke Oszillation (bei hoher Knotenzahl)
- keine Konvergenz

*Wunsch:* Die Interpolation sei glatt und durchlaufe die Stützstellen ohne starke Oszillation

**Definition 6.5.** Sei  $\Delta = \{t_0, \dots, t_{l+1}\}$  ein Gitter von  $l+2$  Knoten mit  $a = t_0 < t_1 < \dots < t_{l+1} = b$ . Ein Spline der Ordnung  $k$  bezüglich  $\Delta$  ist eine Funktion  $s \in C^{k-2}[a, b]$  mit

$$s|_{[t_i, t_{i+1}]} = p_i, \quad i = 0, \dots, n$$

wobei  $p_i \in \Pi_{k-1}$  ist.

$S_{k, \Delta}$ : Raum aller Splines der Ordnung  $k$  bezüglich  $\Delta$ . Es gilt  $\Pi_{k-1}|_{[a, b]} \subset S_{k, \Delta}$ . Abgebrochene Potenzen vom Grad  $k$ :

$$(t - t_i)_+^k = \begin{cases} (t - t_i)^k & \text{für } t \geq t_i \\ 0 & \text{sonst} \end{cases}$$

**Satz 6.6.**

$$B = \{1, t, t^2, \dots, t^{(k-1)}, (t - t_1)_+^{k-1}, (t - t_2)_+^{k-1}, \dots, (t - t_l)_+^{(k-1)}\}$$

ist eine Basis von  $S_{k, \Delta}$ . Insbesondere gilt

$$\dim S_{k, \Delta} = k + l$$

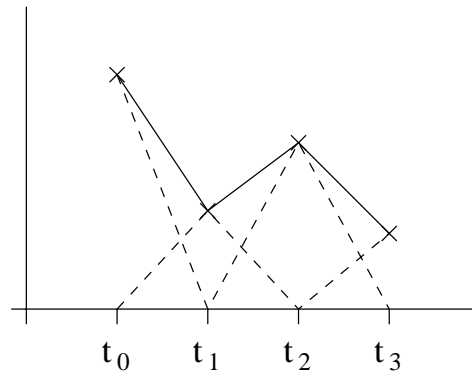
Die Basis  $B$  ist für numerische Anwendungen nicht geeignet.

**Spline-Interpolation**

Interpoliere  $f : \mathbb{R} \rightarrow \mathbb{R}$  bezüglich  $\Delta = \{t_0, \dots, t_{l+1}\}$  durch einen Spline aus  $S_{k,\Delta}$ .

$k = 2$  : lineare Spline

$$\dim S_{2,\Delta} = 2 + l = \#\{t_0, \dots, t_{l+1}\}$$



In den Anwendungen (CAD, CAM) spielen *kubische* Splines der Ordnung 4 (Ordnung=Grad+1) jedoch eine gewichtige Rolle.

Ab jetzt:  $k = 4$

$$S_{4,\Delta} \subset C^2[a, b]$$

$$\dim S_{4,\Delta} - \#\text{Knoten} = l + 4 - (l + 2) = 2$$

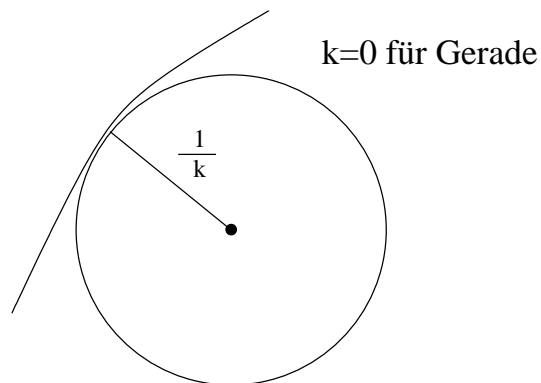
$\Rightarrow$  2 Freiheitsgrade bleiben durch die Interpolationsbedingungen unbestimmt.

*Forderung:* Der interpolierende kubische Spline minimiere die Krümmung unter allen interpolierenden  $C^2$ -Funktionen.

Sei  $y : [a, b] \rightarrow \mathbb{R}$ ,  $y \in C^2$  :

$$k(t) = \frac{y''(t)}{(1 + y'(t)^2)^{\frac{3}{2}}} \quad \text{Krümmung}$$

$\frac{1}{k}$  Radius des Krümmungskreises an  $(t, y(t))$ .



Für  $|y'(t)| \ll 1$  gilt  $k(t) \approx y''(t)$

$$\Rightarrow \|y'(t)\|_{L^2}^2 = \int y''(t)^2 dt = \langle y'', y'' \rangle_{L^2}$$

**Satz 6.7.**  $s \in S_{k,\Delta}$  interpoliere  $f$  in den Knoten  $\Delta = \{t_0, \dots, t_{l+1}\}$ . Sei  $y \in C^2(a, b)$  eine beliebige andere Funktion die  $f$  interpoliert in  $\Delta$  so, daß

$$s''(t)(y'(t) - s'(t)) \Big|_{t=a}^{t=b} = 0$$

ist. Dann gilt

$$\|s''\|_{L^2} < \|y''\|_{L^2}$$

*Beweis:*

$$\begin{aligned} \|y''\|_{L^2(a,b)}^2 &= \|s'' + (y'' - s'')\|_{L^2}^2 \\ &= \|s''\|_{L^2}^2 + 2 \underbrace{\int_a^b s''(y'' - s'') dt}_{=:A} + \underbrace{\|y'' - s''\|_{L^2}^2}_{>0 \text{ falls } A=0} \\ &> \|s''\|_{L^2}^2 \end{aligned}$$

$$A = \underbrace{s''(y' - s')}_{0 \text{ nach Vor.}} \Big|_a^b - \int_a^b s'''(y' - s') dt \quad \text{partielle Integration}$$

$s'''$  ist stückweise konstant auf  $]t_i, t_{i+1}[$ ,  $i = 0, \dots, l$ .

$$s'''(t) = d_i \quad \forall t \in ]t_i, t_{i+1}[, \quad i = 0, \dots, l$$

$$\Rightarrow A = - \sum_{i=0}^l d_i \int_{t_i}^{t_{i+1}} (y - s)' dt = - \sum_{i=0}^l d_i (y - s) \Big|_{t_i}^{t_{i+1}} = 0$$

dann  $y(t_i) = f(t_i) = s(t_i)$ ,  $i = 0, \dots, l+1$   $\checkmark$ .

**Korollar 6.8.**  $s \in S_{4,\Delta}$  interpoliere  $f$  bezüglich  $\Delta = \{t_0, \dots, t_{l+1}\}$ . Außerdem erfülle  $s$  noch eine der folgenden Randbedingungen:

- i)  $s'(a) = f'(a)$ ,  $s'(b) = f'(b)$  (vollständige Spline-Interpolation)
- ii)  $s''(a) = s''(b) = 0$  (natürliche Spline-Interpolation)
- iii) falls  $f$  periodisch mit Periode  $b - a$ :

$$s'(a) = s'(b), \quad s''(a) = s''(b)$$

(periodische Spline-Interpolation)

Dann ist  $s$  eindeutig bestimmt. Für jede andere interpolierende Funktion  $y \in C^2(a, b)$ , die im Falle von i) und iii) denselben Randbedingungen genügt, gilt ferner:

$$\|s''\|_{L^2(a,b)} < \|y''\|_{L^2(a,b)}$$

**Satz 6.9.** Sei  $s \in S_{4,\Delta}$  der vollständig interpolierende Spline der Funktion  $f \in C^4(a, b)$  bezüglich  $\Delta = \{t_0, \dots, t_{l+1}\}$ . Dann gilt

$$\|f - s\|_{\infty} \leq \frac{5}{384} h^4 \|f^{(4)}\|_{\infty}$$

mit  $h = \max_{0 \leq i \leq l} |t_{i+1} - t_i|$ .

**Berechnung der interpolierenden Spline**

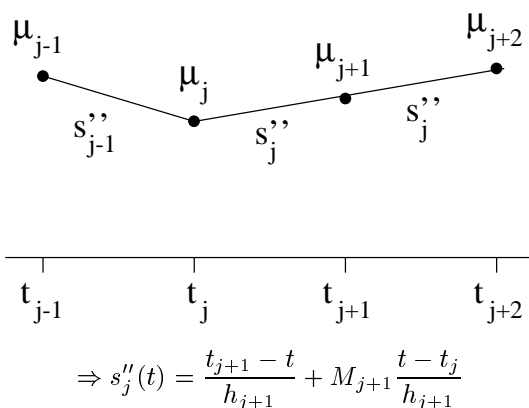
$$\Delta = \{t_0, \dots, t_{l+1}\}, \quad a = t_0 < t_1 < \dots < t_{l+1} = b$$

$$s \in S_{4,\Delta} \text{ interpoliert } f : s(t_j) = f(t_j) = f_j, \quad j = 0, \dots, l+1$$

$$h_{j+1} = t_{j+1} - t_j, \quad M_j = s''(t_j), \quad j = 0, \dots, l+1 \quad (\text{Momente des Splines})$$

Aus den Momenten kann der Spline rekonstruiert werden.

$$s_j = s|_{[t_j, t_{j+1}]} \in \Pi_3 \Rightarrow s_j'' = s''|_{[t_j, t_{j+1}]} \in \Pi_1 \quad (\text{affine lineare Funktion})$$



Integration liefert:

$$s_j'(t) = -M_j \frac{(t_{j+1} - t)^2}{2h_{j+1}} + M_{j+1} \frac{(t - t_j)^2}{2h_{j+1}} + A_j \quad (6.1)$$

$$s_j(t) = M_j \frac{(t_{j+1} - t)^3}{6h_{j+1}} + M_{j+1} \frac{(t - t_j)^3}{6h_{j+1}} + A_j(t - t_j) + B_j$$

für Integrationskonstanten  $A_j, B_j$ .

Es gelten:

$$f_j = s(t_j) = M_j \frac{h_{j+1}^2}{6} + B_j$$

$$f_{j+1} = s(t_{j+1}) = M_{j+1} \frac{h_{j+1}^2}{6} + A_j h_{j+1} + B_j, \quad j = 0, \dots, l$$

$$\left. \begin{aligned} \Rightarrow B_j &= f_j - M_j \frac{h_{j+1}^2}{6} \\ A_j &= \frac{f_{j+1} - f_j}{h_{j+1}} - \frac{h_{j+1}}{6} (M_{j+1} - M_j) \end{aligned} \right\} \quad (6.2)$$

$s_j$  hat nun die Darstellung

$$s_j(t) = \alpha_j + \beta_j(t - t_j) + \gamma_j(t - t_j)^2 + \delta_j(t - t_j)^3, \quad j = 0, \dots, l$$

(Taylor-Entwicklung von  $s_j$  um  $t_j$ )



$$\begin{aligned}
\Rightarrow \alpha_j &= s_j(t_j) = f_j \\
\beta_j &= s'_j(t_j) \stackrel{(6.1)}{=} -M_j \frac{h_{j+1}}{2} + A_j \\
&= \frac{f_{j+1} - f_j}{h_{j+1}} - \frac{2M_j + M_{j+1}}{6} h_{j+1} \\
\gamma_j &= \frac{1}{2} s''_j(t_j) = \frac{1}{2} M_j \\
\delta_j &= \frac{1}{6} s'''_j(t_j) = \frac{1}{6} (s'')'(t_j) \\
&= \frac{1}{6} \frac{M_{j+1} - M_j}{h_{j+1}}
\end{aligned}$$

Damit ist  $s$  durch  $M_j$  und  $f_j$  vollständig bestimmt.

Die  $M_j$  erhalten wir aus

$$s'_{j-1}(t_j) = s'_j(t_j) \quad (6.3)$$

$$\begin{aligned}
(6.1) \text{ und } (6.2) \Rightarrow s'_j(t) &= -M_j \frac{(t_{j+1} - t)^2}{2h_{j+1}} + M_{j+1} \frac{(t - t_j)^2}{2h_{j+1}} \\
&\quad + \frac{f_{j+1} - f_j}{h_{j+1}} - \frac{h_{j+1}}{6} (M_{j+1} - M_j), \quad j = 0, \dots, l \\
\Rightarrow s'_{j-1}(t_j) &= \frac{f_j - f_{j-1}}{h_j} + \frac{h_j}{3} M_j + \frac{h_j}{6} M_{j-1} \\
&= s'_j(t_j) = \frac{f_{j+1} - f_j}{h_{j+1}} - \frac{h_{j+1}}{3} M_j - \frac{h_{j+1}}{3} M_{j+1}
\end{aligned}$$

$$\begin{aligned}
(6.3) \Rightarrow \frac{h_j}{6} M_{j-1} + \frac{h_j + h_{j+1}}{3} M_j + \frac{h_{j+1}}{6} M_{j+1} \\
= \frac{f_{j+1} - f_j}{h_{j+1}} - \frac{f_j - f_{j-1}}{h_j}, \quad j = 1, \dots, l \quad (6.4)
\end{aligned}$$

Das sind  $l$  Bedingungen für die  $l+2$  Unbekannten  $M_0, \dots, M_{l+1}$ . Je zwei weitere Bedingungen erhalten wir aus Korollar 6.8.

i) *vollständige Spline-Interpolation*

$$\begin{aligned}
s'(a) &= f'(a) = f'_0 \\
s'(b) &= f'(b) = f'_{l+1} \\
\Rightarrow s'_0(a) &= -M_0 \frac{h_0}{2} + \frac{f_1 - f_0}{h_1} - \frac{h_1}{6} (M_1 - M_0) \stackrel{!}{=} f'_0
\end{aligned}$$

$$\Rightarrow \frac{h_1}{3} M_0 + \frac{h_1}{6} M_1 = \frac{f_1 - f_0}{h_1} - f'_0$$

analog:

$$\frac{h_{l+1}}{6} M_l + \frac{h_{l+1}}{3} M_{l+1} = f'_{l+1} - \frac{f_{l+1} - f_l}{h_{l+1}}$$

ii) *natürliche Spline-Interpolation*

$$\begin{aligned}
s''(a) &= s''(b) = 0 \\
\Rightarrow M_0 &= M_{l+1} = 0
\end{aligned}$$

Führen wir die Abkürzungen

$$\lambda_j = \frac{h_{j+1}}{h_j + h_{j+1}}, \quad \mu_j = 1 - \lambda_j = \frac{h_j}{h_j + h_{j+1}}$$

sowie

$$d_j = \frac{6}{h_j + h_{j+1}} \left( \frac{f_{j+1} - f_j}{h_{j+1}} - \frac{f_j - f_{j+1}}{h_j} \right), \quad j = 1, \dots, l$$

ein, dann wird aus (6.4)

$$\mu_j \cdot M_{j-1} + 2M_j + \lambda_j M_{j+1} = d_j, \quad j = 1, \dots, l$$

Definieren wir zusätzlich

im Fall i)

$$\begin{aligned} \lambda_0 &= 1 \\ d_0 &= \frac{6}{h_1} \left( \frac{f_1 - f_0}{h_1} - f'_0 \right) \\ \mu_{l+1} &= 1 \\ d_{l+1} &= \frac{6}{h_{l+1}} \left( f'_{l+1} - \frac{f_{l+1} - f_l}{h_{l+1}} \right) \end{aligned}$$

im Fall ii)

$$\begin{aligned} \lambda_0 &= d_0 = 0 \\ \mu_{l+1} &= d_{l+1} = 0 \end{aligned}$$

dann erhalten wir das Gleichungssystem:

$$\underbrace{\begin{pmatrix} 2 & \lambda_0 & & & \\ \mu_1 & \ddots & \ddots & & 0 \\ & \ddots & \ddots & \ddots & \\ & & 0 & \ddots & \ddots \\ & & & \mu_{l+1} & 2 \end{pmatrix}}_{A_l} \begin{pmatrix} M_0 \\ \vdots \\ M_{l+1} \end{pmatrix} = \begin{pmatrix} d_0 \\ \vdots \\ d_{l+1} \end{pmatrix}$$

$A_l$  ist regulär (kubische Spline-Interpolation ist eindeutig). Außerdem gilt  $\lambda_i \geq 0$ ,  $\mu_i \geq 0$ .

$$\begin{aligned} \lambda_i + \mu_i &= 1 \\ \Rightarrow A_l &\text{ ist diagonaldominant} \\ \Rightarrow LR\text{-Zerlegung} &\text{ ist stabil} \end{aligned}$$

### 6.3 Freiformkurven, Beziertechnik

*Anwendung:*

- Entwurf am Computer (CAD)

- Geometrische Aspekte einer Kurve spielen eine entscheidende Rolle.

*Zentrale Frage:* Welche Parameter beeinflussen die Gestalt einer Kurve?

$P : [a, b] \xrightarrow{a < b} \mathbb{R}^d$  ist polynomiale Kurve vom Grad  $n$ , falls

$$P(t) = \sum_{i=0}^n a_i t^i \text{ mit } a_i \in \mathbb{R}^d, a_n \neq 0$$

$\Pi_k^d$  ist die Menge aller polynomialen Kurven im  $\mathbb{R}^d$  vom Grad  $n$ .

### Bernstein-Polynome

$$\varphi : [a, b] \rightarrow [0, 1]$$

$$\varphi(t) = \frac{t-a}{b-a} \text{ bijektiv}$$

**Definition 6.10.** Das  $i$ -te Bernstein-Polynom  $B_i^n \in \Pi_n^1$  bezüglich  $[0, 1]$  ist definiert durch

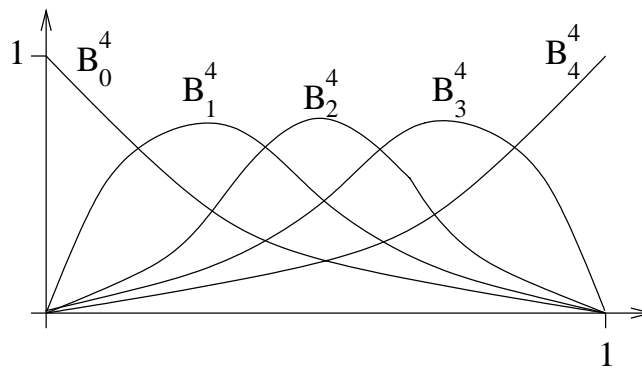
$$B_i^n(\lambda) := \binom{n}{i} (1-\lambda)^{n-i} \lambda^i, \quad i = 0, \dots, n$$

$B_i^n(\cdot; a, b)$ , das  $i$ -te Bernstein-Polynom bezüglich  $[a, b]$ , ist definiert durch

$$B_i^n(t; a, b) := B_i^n(\varphi(t)) = \frac{1}{(b-a)^n} \binom{n}{i} (t-a)^i (b-t)^{n-i}, \quad i = 0, \dots, n$$

Es gilt:

$$\begin{aligned} 1 &= ((1-\lambda) + \lambda)^n = \sum_{i=0}^n \binom{n}{i} (1-\lambda)^{n-i} \lambda^i \\ &= \sum_{i=0}^n B_i^n(\lambda) \quad \forall \lambda \in \mathbb{R} \end{aligned}$$



**Satz 6.11.** Es gelten folgende Aussagen:

1.  $\lambda = 0$  ist  $i$ -fache Nullstelle von  $B_i^n$
2.  $\lambda = 1$  ist  $(n-i)$ -fache Nullstelle von  $B_i^n$
3.  $B_i^n(\lambda) = B_{n-i}^n(1-\lambda)$

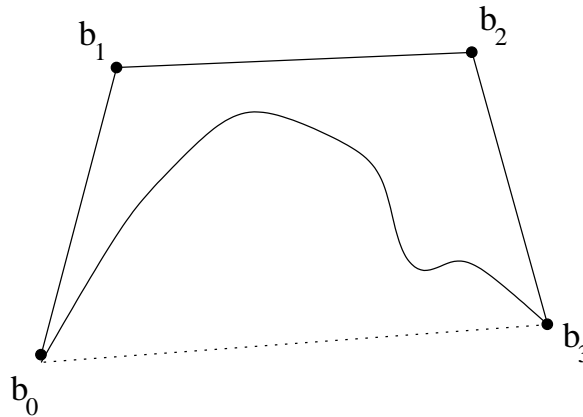
4.  $(1 - \lambda)B_0^n(\lambda) = B_0^{n-i}(\lambda)$ ,  $\lambda B_n^n(\lambda) = B_{n+1}^{n-1}(\lambda)$
5.  $B_i^n(\lambda) \geq 0$ ,  $\lambda \in [0, 1]$ ,  $\sum_{i=0}^n B_i^n(\lambda) = 1$
6.  $B_i^n$  hat in  $[0, 1]$  genau ein Maximum, und zwar bei  $\lambda = \frac{i}{n}$
7.  $B_i^n(\lambda) = \lambda \cdot B_{i-1}^{n-1}(\lambda) + (1 - \lambda)B_i^{n-1}(\lambda) \forall \lambda \in \mathbb{R}$ ,  $i = 1, \dots, n$
8.  $\{B_0^n, \dots, B_n^n\}$  ist Basis von  $\Pi_n^1$

Analoge Aussagen gelten für  $B_i(i; a, b)$ . Die Maxima liegen bei  $a + \frac{i}{n}(b - a)$ .

$$P \in \Pi_n^d \Rightarrow P(t) = \sum_{i=0}^n b_i B_i^n(t; a, b), b_i \in \mathbb{R}^d$$

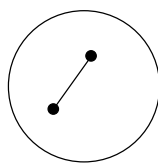
$b_i$  Kontroll-/Bezier-Punkte von  $P$

Der Streckenzug  $b_0, b_1, \dots, b_n$  im  $\mathbb{R}^d$  heißt Bezier-Polygon.

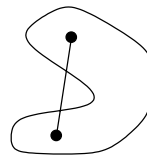


Eine Menge  $K \subset \mathbb{R}^d$  heißt *konvex*, falls gilt:

$$x, y \in K \Rightarrow \mu \cdot x + (1 - \mu)y \in K \forall \mu \in [0, 1]$$



konvex



nicht konvex

Sei  $A \subset \mathbb{R}^d$  beliebig:

$$\text{co}(A) = \bigcap \{B \subset \mathbb{R}^d \mid B \text{ konvex}, A \subset B\}$$

$\text{co}(A)$  heißt *konvexe Hülle* von  $A$ .

**Satz 6.12.**  $P = \sum_{i=0}^n b_i B_i^n(\cdot; a, b) \in \Pi_n^d$

$$\Rightarrow P(t) \in \text{co}(\{b_0, \dots, b_n\}) \forall t \in [a, b]$$

**Definition 6.13.** Zu  $P = \sum_{i=0}^n b_i B_i^n$  definieren wir Teilpolynome  $b_i^k \in \Pi_k^d$ ,  $i = 0, \dots, n-k$  durch

$$b_i^k(t; a, b) = \sum_{j=0}^k b_{i+j} B_j^k(t; a, b)$$

d.h.  $b_i^k$  wird durch die Bezierpunkte  $b_i, \dots, b_{i+k}$  definiert. ( $b_i^0 = b_i$ )

**Satz 6.14.** Sei  $P = \sum_{i=0}^n b_i B_i^n(\cdot; a, b)$

$$\begin{aligned} \Rightarrow P^{(k)}(t) &= \frac{1}{b-a} \frac{n!}{(n-k)!} \Delta^k b_0^{n-k}(t), \quad k = 0, \dots, n \\ \Delta b_i^k &= b_{i+1}^k - b_i^k, \quad \Delta^k = \Delta(\Delta^{k-1}), \quad k = 1, \dots, n \end{aligned}$$

*Beispiel:*

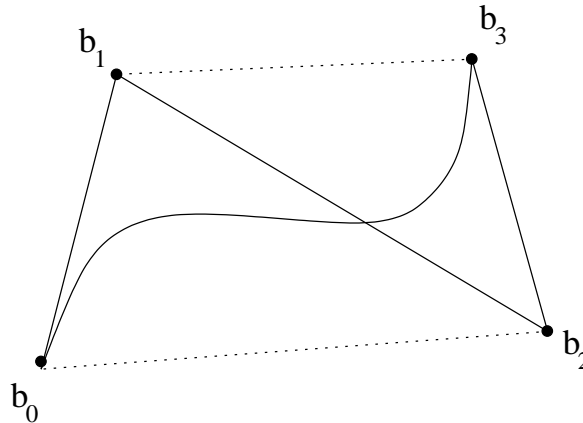
$$\Delta^2 b_i^k = \Delta(b_{i+1}^k - b_i^k) = b_{i+2}^k - 2b_{i+1}^k + b_i^k$$

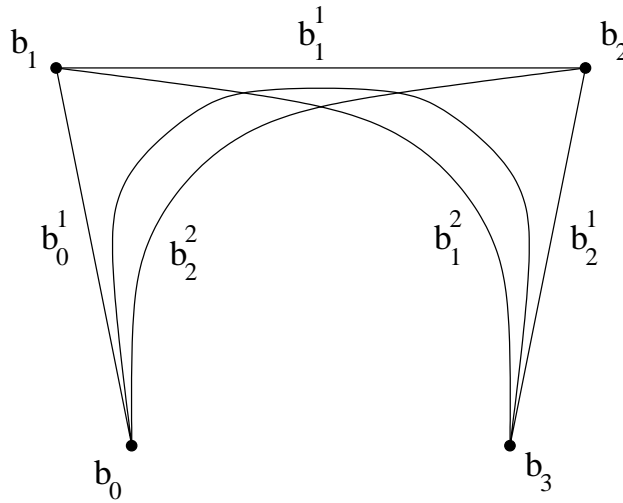
*Folgerung:*

$$\begin{aligned} P^{(k)}(a) &= \frac{1}{b-a} \frac{n!}{(n-k)!} \Delta^k b_0 \\ P^{(k)}(b) &= \frac{1}{b-a} \frac{n!}{(n-k)!} \Delta^k b_{n-k} \end{aligned}$$

speziell:

$$\begin{aligned} P(a) &= b_0, \quad P(b) = b_n \\ P'(a) &= n(b_1 - b_0), \quad P'(b) = n(b_n - b_{n-1}) \end{aligned}$$





Siehe z.B.

<http://i33www.ira.uka.de/applets/mocca/html/noplugin/inhalt.html>

**Algorithmus von Casteljaou**

- schnelle Approximation von  $P(t)$
- Approximation von  $\{P(t) \mid t \in [a, b]\}$  durch Polygonzüge (“Konstruktion von  $P$ ”)

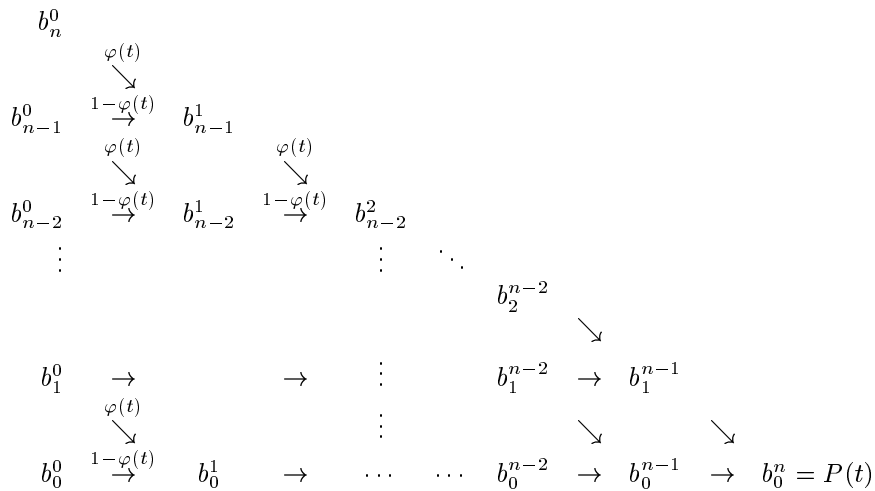
**Lemma 6.15.** Die Teilpolynome erfüllen

$$b_i^k(t) = (1 - \varphi(t))b_i^{k-1}(t) + \varphi(t)b_{i+1}^{k-1}(t)$$

für  $k = 0, \dots, n$ ;  $i = 0, \dots, n - k$ .

Bemerkung: Für  $b_i^k$  bzgl.  $[0, 1]$  gilt natürlich  $\varphi(t) = t$ .

Wegen  $b_i^0(t) = b_i$  können wir  $P(t)$  aus  $\{b_0, \dots, b_n\}$  berechnen:



## 7 Diskrete Fouriertransformation (DFT)

Die DFT  $D_n : \mathbb{C}^n \rightarrow \mathbb{C}^n$  ist definiert durch:

$$(D_n f)_j = \frac{1}{n} \sum_{k=0}^{n-1} f_k \omega_n^{-jk}$$

mit  $\omega_n = e^{i\frac{2\pi}{n}} = \cos(\frac{2\pi}{n}) + i \cdot \sin(\frac{2\pi}{n})$ .  $i^2 = -1$

*Bemerkung:* In diesem Abschnitt beginnt der Index von Vektoren und Matrizen bei 0.

### Matrix-Darstellung

$$D_n = \frac{1}{n} \begin{pmatrix} 1 & 1 & \dots & 1 \\ 1 & \omega_n^{-1} & \dots & \omega_n^{-(n-1)} \\ \vdots & \vdots & \ddots & \vdots \\ 1 & \omega_n^{-(n-1)} & \dots & \omega_n^{-(n-1)(n-1)} \end{pmatrix}$$

### Satz 7.1.

$$D_n^{-1} = n \overline{D_n}$$

$$\Rightarrow f = D_n^{-1} D_n f = \sum_{j=0}^{n-1} (D_n f)_j \omega_j$$

$$\text{mit } \omega_j = \left(1, \omega_n^j, \omega_n^{2j}, \dots, \omega_n^{(n-1)j}\right)$$

Mit  $j$  nimmt die Anzahl der Oszillationen (Vorzeichenwechsel) zu, das heißt die Frequenz erhöht sich.

*Interpretation:*  $(D_n f)_j$  mißt, wie stark die Schwingung  $\omega_j$  in  $f$  enthalten ist. Die DFT führt eine Spektralanalyse durch. Die DFT ist zentral für die moderne Kommunikations- und Nachrichtentechnik, z.B. zur Bildkompression (JPEG).

### FFT

Die direkte Auswertung von  $D_n f$  erfordert  $n^2$  komplexe Multiplikationen. Wir werden  $D_n$  faktorisieren:

$$D_n = \frac{1}{n} A_p \cdot \dots \cdot A_1 P_n^t \text{ für } n = 2^p$$

$P_n$  Permutation,  $A_j \in \mathbb{C}^{n \times n}$ : 2 Einträge pro Zeile  $\neq 0$ . Auswertung von  $D_n f$

über Faktorisierung:  $n \cdot \overbrace{\log_2 n}^p$  komplexe Multiplikationen.

Sei  $\tilde{D}_n = n \cdot D_n$ . Betrachte  $n = 4$ :

$$\tilde{D}_4 = \begin{pmatrix} 1 & 1 & 1 & 1 \\ 1 & -i & -1 & i \\ 1 & -1 & 1 & -1 \\ 1 & i & -1 & -i \end{pmatrix}, \pi_4 = \begin{pmatrix} 1 & 0 & 0 & 0 \\ 0 & 0 & 1 & 0 \\ 0 & 1 & 0 & 0 \\ 0 & 0 & 0 & 1 \end{pmatrix}$$

$\pi_4$  ist eine Permutation, die zuerst die geraden und dann die ungeraden Indizes anordnet.

$$\pi_4 \cdot \begin{pmatrix} v_0 \\ v_1 \\ v_2 \\ v_3 \end{pmatrix} = \begin{pmatrix} v_0 \\ v_2 \\ v_1 \\ v_3 \end{pmatrix}$$

$$\begin{aligned} \tilde{D}_4 \cdot \pi_4 &= \left( \begin{array}{cc|cc} 1 & 1 & 1 & 1 \\ 1 & -1 & -i & i \\ \hline 1 & 1 & -1 & -1 \\ 1 & -1 & i & -i \end{array} \right), \tilde{D}_2 = \begin{pmatrix} 1 & 1 \\ 1 & -1 \end{pmatrix} \\ \tilde{D}_4 &= \begin{pmatrix} I_2 & \Omega_2 \\ I_2 & \Omega_2 \end{pmatrix} \cdot \begin{pmatrix} \tilde{D}_2 & 0 \\ 0 & \tilde{D}_2 \end{pmatrix} \cdot \pi_4^t \end{aligned} \quad (7.1)$$

mit  $I_2 = \text{diag}(1, \dots, 1) \in P^{l \times l}$ ,  $\Omega_2 = \begin{pmatrix} 1 & 0 \\ 0 & -i \end{pmatrix} = \text{diag}(1, \omega_4^{-1})$ .

Die allgemeine Version von (7.1) drückt  $\tilde{D}_n$  durch  $\tilde{D}_{\frac{n}{2}}$  aus.

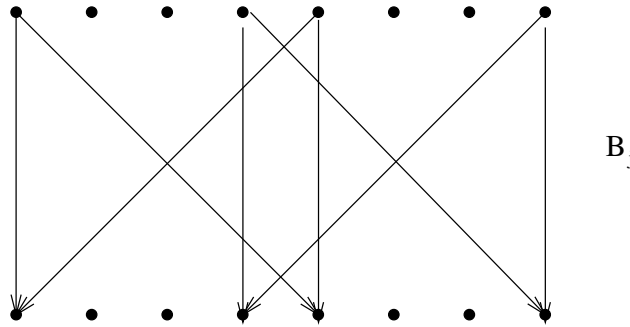
$$\pi_n : \mathbb{C}^n \rightarrow \mathbb{C}^n, n = 2m$$

$$\omega = \pi^t V \Leftrightarrow \omega = (V_0, V_2, \dots, V_{n-2}, V_1, \dots, V_{n-1})$$

**Satz 7.2.** Sei  $n = 2m$  und  $\Omega_m = \text{diag}(1, \omega_n^{-1}, \omega_n^{-2}, \dots, \omega_n^{-(n-1)})$ ,  $\omega_n = e^{i\frac{2\pi}{n}}$ .  
Dann gilt

$$\tilde{D}_n \cdot \pi_n = \left( \begin{array}{c|c} \tilde{D}_m & \Omega_m \tilde{D}_m \\ \hline \tilde{D}_m & -\Omega_m \tilde{D}_m \end{array} \right) = \left( \begin{array}{c|c} I_m & \Omega_m \\ \hline I_m & \Omega_m \end{array} \right) \begin{pmatrix} \tilde{D}_m & 0 \\ 0 & \tilde{D}_m \end{pmatrix}$$

Die Matrizen  $B_n = \begin{pmatrix} I_m & \Omega_m \\ I_m & -\Omega_m \end{pmatrix}$  heißen "Butterfly"-Matrizen.



**Satz 7.3 (Cooley-Tuckey-Basis - 2. Faktorisierung).** Sei  $n = 2^p$ . Dann ist

$$\tilde{D}_n = A_p^{(p)} \cdot \dots \cdot A_1^{(p)} P_n^t \quad (7.2)$$

mit  $P_2 = I_2$ ,  $P_n = \pi_n \begin{pmatrix} P_{n/2} & 0 \\ 0 & P_{n/2} \end{pmatrix}$ .

$$A_j = \text{blockdiag}(\underbrace{B_{2^j}, \dots, B_{2^j}}_{2^{p-j} \text{ Blöcke}}) = \begin{pmatrix} B_{2^j} & & 0 \\ & \ddots & \\ 0 & & B_{2^j} \end{pmatrix}$$



$B_{2^j}$  Butterfly-Matrix,  $j = 1, \dots, p$ .

Die Realisierung von  $D_n f$  basierend auf (7.2) heißt Cooley-Tuckey-Algorithmus.

## Aspekte des CT-Algorithmus

2 Phasen:

- (a) Permutationsphase ( $f = P_n^t f$ )  
 (b) Multiplikationsphase ( $f = A_p \cdot A_{p-1} \cdots A_1 f$ )

(a) Permutationsphase:

$$P_8^t f = (f_0, f_4, f_2, f_6, f_1, f_5, f_3, f_7)^t$$

$$P_{16}^t f = (f_0, f_8, f_4, \underbrace{f_{12}}_{\substack{12_{10}=1100_2 \\ 3_{10}=0011_2}}, f_2, f_{10}, f_6, f_{14}, f_1, f_9, \underbrace{f_5}_{\substack{5_{10}=0101_2 \\ 10_{10}=1010_2}}, f_{13}, f_{11}, f_7, f_{15})^t$$

**Satz 7.4.** Sei  $n = 2^p$ . Die Funktion  $r_n = \{0, \dots, n-1\} \rightarrow \{0, \dots, n-1\}$  sei definiert durch

$$(P_n^t f)_k = f_{r_n(k)}, \quad k = 0, \dots, n-1$$

Dann gilt

$$r_n(2^{p-1}b_{p-1} + 2^{p-2}b_{p-2} + \cdots + 2b_1 + b_0) = 2^{p+1}b_0 + 2^{p-2}b_1 + \cdots + 2b_{p-2} + b_{p-1}$$

für  $b_j \in \{0, 1\}$ ,  $j = 0, \dots, p-1$ . Deshalb heißt  $P_n$  Bitspiegelung.

(b) Multiplikationsphase:

$B_l$  Butterfly-Matrix der Ordnung  $l = 2l_*$ :

$$y = B_l z \Leftrightarrow \begin{pmatrix} y_0 \\ y_n \end{pmatrix} = \begin{pmatrix} z_0 + \Omega_{l_*} z_n \\ z_0 - \Omega_{l_*} z_n \end{pmatrix}$$

mit  $y = \begin{pmatrix} y_0 \\ y_n \end{pmatrix}$ ,  $z = \begin{pmatrix} z_0 \\ z_n \end{pmatrix}$ ;  $y_0, y_n, z_0, z_n \in \mathbb{C}^{l_*}$ .

Wir betrachten nun die Anwendung von  $A_j^{(p)}$  auf  $x \in \mathbb{C}^n$ .

$$y = A_j^{(p)} x \Leftrightarrow y_{l+r} = B_{l+r}; \quad l = 2^j, \quad r = 2^{p-j}$$

mit  $y_{l+r}, x_{l+r} \in \mathbb{C}^{l+r}$ .

$$(x_{l+r})_{j,k} = x_{kl+j}, \quad x_{l+r} = \begin{pmatrix} x_0 & \cdots & x_l & \cdots & x_{(r-1)l} \\ \vdots & & \vdots & & \vdots \\ x_{l-1} & \cdots & x_{2l-1} & \cdots & x_{rl-1} \end{pmatrix}$$

**CT-Algorithmus**

$f \in \mathbb{C}^n$ ,  $n = 2^p$ ,  $f = \frac{1}{n} P_n^t f$  (Bitspiegelung)

```

for  $j = 1, \dots, p$ 
{
   $l = 2^j$ ,  $r = l/2$ ,  $l_* = l/2$ 
  for  $q = 0, \dots, l_* - 1$ 
  {
     $\omega = \cos(2\pi q/l) - i \cdot \sin(2\pi q/l)$ 
    for  $k = 0, \dots, r - 1$ 
    {
       $\tau = \omega \cdot f_{kl+j+l_*}$ 
       $f_{kl+j+l_*} = f_{kl+j} + \tau$ 
       $f_{kl} = f_{kl+j} - \tau$ 
    }
  }
}

```

Aufwand (ohne Berechnung von  $\omega$ , ohne reelle Multiplikation):

$$\frac{1}{2} n \log_2 n \text{ komplexe Multiplikationen}$$

**8 Numerische Quadratur**

*Ziel:* Berechnung des Riemann-Integrals

$$I(f) := I_a^b(f) = \int_a^b f(x) dx,$$

wenn keine Stammfunktion bekannt ist. Die zahlenmäßige Bestimmung von  $I(f)$  heißt *numerische Integration* oder *numerische Quadratur*.

**Quadraturformeln**

$I: C(a, b) \rightarrow \mathbb{R}$ ,  $f \mapsto I(f)$  ist eine *positive Linearform*.

**linear:**

$$I(\alpha f + \beta g) = \alpha \cdot I(f) + \beta \cdot I(g) \quad \forall f, g \in C(a, b), \alpha, \beta \in \mathbb{R}$$

**positiv:**

$$f \geq 0 \Rightarrow I(f) \geq 0$$

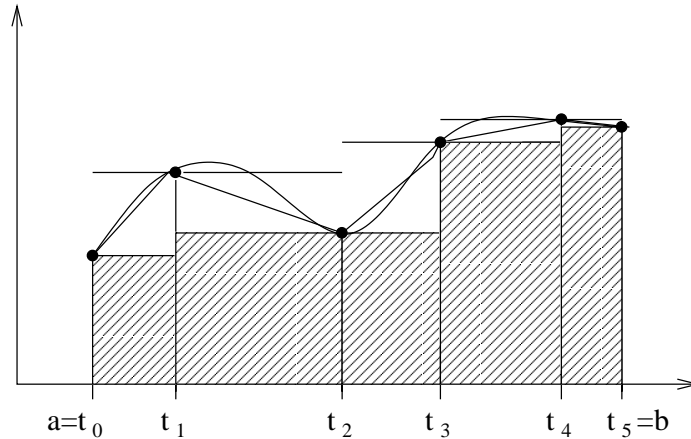
**additiv:** Sei  $\tau \in [a, b]$ :

$$I(f) = I_a^\tau(f) + I_\tau^b(f)$$

Ziel der numerischen Quadratur ist die Konstruktion positiver Linearformen  $\hat{I}: C(a, b) \rightarrow \mathbb{R}$ ,  $f \mapsto \hat{I}(f)$  mit

$$\hat{I}(f) - I(f) \text{ "klein"}$$

Beispiel:  $f$  stetig:



Zerlege  $[a, b]$  in  $n$  Teilintervalle  $[t_i, t_{i+1}]$ ,  $i = 0, \dots, n-1$  mit  $a = t_0 < t_1 < \dots < t_n = b$ :

$$\hat{I}_n(f) = \sum_{i=0}^{n-1} \frac{h_i}{2} (f(t_i) + f(t_{i+1})), \quad h_i = t_{i+1} - t_i$$

$\hat{I}_n(f)$  heißt *Trapezsumme*.

$$R_u^{(n)}(f) := \sum_{i=0}^{n-1} h_i \cdot \min_{t \in [t_i, t_{i+1}]} f(t) \quad \text{Riemannsche Untersumme}$$

$$R_o^{(n)}(f) := \sum_{i=0}^{n-1} h_i \cdot \max_{t \in [t_i, t_{i+1}]} f(t) \quad \text{Riemannsche Obersumme}$$

Sei  $h = \max\{h_i\}$ .

$$\begin{array}{ccc} R_u^{(n)}(f) & \leq & \hat{I}_n(f) \leq R_o^{(n)}(f) \\ \downarrow h \rightarrow 0 & & \downarrow h \rightarrow 0 \\ I(f) & & I(f) \end{array}$$

$$\Rightarrow \lim_{\substack{h \rightarrow 0 \\ (n \rightarrow \infty)}} \hat{I}_n(f) = I(f)$$

**Definition 8.1.** Eine Quadraturformel  $\hat{I}$  zur Berechnung von  $\int_a^b f(x) dx$  hat die Form:

$$\hat{I}(f) := (b-a) \sum_{i=0}^n \lambda_i f(t_i)$$

mit den Knoten  $t_0, \dots, t_n$  und den Gewichten  $\lambda_0, \dots, \lambda_n$ , wobei  $\sum_{i=0}^n \lambda_i = 1$  ist. Es gelten:

- $\hat{I}(1) = b - a = I(1)$  (konstante Funktionen werden exakt integriert)
- $\hat{I}$  positiv  $\Leftrightarrow \lambda_i \geq 0$ ;  $i = 0, \dots, n$

### Newton-Cotes-Formeln

$$\hat{I}_n(f) := \int_a^b P(f|t_0, \dots, t_n)(t) dt, \quad a = t_0 < t_1 < \dots < t_n = b$$

$$P(f|t_0, \dots, t_n) = \sum_{i=0}^n f(t_i) L_{n,i}(t)$$

$L_{n,i}$  sind die Lagrange-Polynome zu  $t_0, \dots, t_n$ .

$$\Rightarrow \hat{I}_n(f) = (b-a) \cdot \sum_{i=0}^n \underbrace{\frac{1}{b-a} \int_a^b L_{n,i}(t) dt}_{=: \lambda_{n,i}} \cdot f(t_i)$$

$\lambda_{n,i}$  hängen von den Knoten ab.  $\hat{I}_n$  ist exakt für Polynome bis zum Grad  $n$ :

$$\hat{I}(P) = I(P) \quad \forall P \in \Pi_n$$

**Lemma 8.2.** Zu  $n+1$  paarweise verschiedenen Knoten  $t_0, \dots, t_n$  gibt es genau eine Quadraturformel

$$\hat{I}(f) = (b-a) \sum_{i=0}^n \lambda_i f(t_i),$$

die für alle  $P \in \Pi_n$  exakt ist.

*Beweis:* Die Existenz haben wir oben gezeigt.

*Eindeutigkeit:*  $L_{n,i}$  Lagrange-Polynome zu  $t_0, \dots, t_n$ .

$$I(L_{n,i}) = \hat{I}(L_{n,i}) = (b-a) \cdot \sum_{j=0}^n \lambda_j L_{n,i}(t_j) = (b-a) \cdot \lambda_i$$

$$\Rightarrow \lambda_i = \frac{1}{b-a} \cdot I(L_{n,i}) = \frac{1}{b-a} \cdot \int_a^b L_{n,i}(t) dt = \lambda_{n,i} \quad \checkmark$$

Bei äquidistanten Knoten  $t_i = a + ih$ ;  $i = 0, \dots, n$ ,  $h = \frac{b-a}{n}$  heißen die oben konstruierten Quadraturformeln *Newton-Cotes-Formeln*. Ihre Gewichte sind

$$\lambda_{n,i} = \frac{1}{b-a} \cdot \int_a^b \prod_{\substack{j=0 \\ j \neq i}}^n \frac{t-t_j}{t_i-t_j} dt$$

$$= \frac{1}{n} \int_0^n \prod_{\substack{j=0 \\ j \neq i}}^n \frac{s-j}{i-j} ds \quad [\text{Subst.: } s = (t-a)/h]$$

$$\Rightarrow \lambda_{n,i} \in \mathbb{Q}$$

$n$	Gewichte	Fehler	Namen
1	$\frac{1}{2} \quad \frac{1}{2}$	$\frac{h^3}{12} f''(\tau)$	Trapezregel
2	$\frac{1}{6} \quad \frac{4}{6} \quad \frac{1}{6}$	$\frac{h^5}{90} f^{(4)}(\tau)$	Simpson-Regel/Keplersche Faßregel
3	$\frac{1}{8} \quad \frac{3}{8} \quad \frac{3}{8} \quad \frac{1}{8}$	$\frac{3h^5}{80} f^{(4)}(\tau)$	Newtonsche $\frac{3}{8}$ -Regel
4	$\frac{7}{90} \quad \frac{32}{90} \quad \frac{12}{90} \quad \frac{32}{90} \quad \frac{7}{90}$	$\frac{8h^7}{945} f^{(6)}(\tau)$	Milne-Regel

Für  $n \leq 7$  sind die Gewichte positiv.

**Lemma 8.3.** Sei  $f \in C^2(a, b)$ . Dann gilt für die Trapezregel

$$T(f) = \frac{b-a}{2}(f(a) + f(b))$$

die Fehlerdarstellung

$$T(f) - I(f) = \frac{h^3}{12} \cdot f''(\tau)$$

für ein  $\tau \in [a, b]$ .

*Beweis:* Sei  $P = P(f|a, b) \in \Pi_1$ :

$$\begin{aligned} f(t) &= P(t) + \frac{1}{2}f''(\tau(t)) \cdot (t-a)(t-b) \quad (\text{Satz 6.3}) \\ \Rightarrow I(f) &= I(P) + \frac{1}{2} \int_a^b f''(\tau(t)) \cdot \underbrace{(t-a)(t-b)}_{\leq 0} dt \\ &= T(f) + \frac{1}{2}f''(\xi) \underbrace{\int_a^b (t-b)(t-a) dt}_{=-\frac{(b-a)^3}{6}} \quad (\text{MWS d. I.}) \\ \Leftrightarrow T(f) - I(f) &= \frac{(b-a)^3}{12} f''(\xi) \quad \checkmark \end{aligned}$$

**Mittelwertsatz der Integralrechnung.** Seien  $f, \varphi$  stetig,  $\varphi \geq 0$  (oder  $\varphi \leq 0$ ):

$$\Rightarrow \int_a^b f(x)\varphi(x)dx = f(\xi) \cdot \int_a^b \varphi(x)dx$$

für ein  $\xi \in [a, b]$ .

**Lemma 8.4 (Die Keplersche Faßregel).**

$$S(f) = \frac{b-a}{6} (f(a) + 4f(\frac{a+b}{2}) + f(b))$$

ist auch für Polynome vom Grad 3 exakt. Für  $f \in C^4(a, b)$  gilt mit  $h = (b-a)/2$ :

$$S(f) - I(f) = \frac{f^{(4)}(\tau)}{90} \cdot h^5$$

*Beweis:* Sei  $Q \in \Pi_3$  beliebig. Sei

$$\begin{aligned} P &= P(Q|a, \frac{a+b}{2}, b) \in \Pi_2 \\ \Rightarrow Q(t) &= P(t) + \underbrace{\frac{Q'''(\tau(t))}{6}}_{\gamma=\text{const.}} \underbrace{(t-a)(t-\frac{a+b}{2})(t-b)}_{=\omega(t)} \quad (\text{Satz 6.3}) \\ \Rightarrow \int_a^b Q(t)dt &= \underbrace{\int_a^b P(t)dt}_{=S(Q)} + \gamma \int_a^b \omega(t)dt \\ \int_a^b \omega(t)dt &= K(a, b) \underbrace{\int_{-1}^1 (x-1)x(x+1)dx}_{=0} \quad \left[ \text{Subst.: } x = \frac{2t-a-b}{b-a} \right] \\ \Rightarrow \int_a^b Q(t)dt &= S(Q) \quad \forall Q \in \Pi_3 \quad \checkmark \end{aligned}$$

### Zusammengesetzte Formeln

**Lemma 8.5.** Seien  $h = (b - a)/n$ ,  $n \in \mathbb{N}$ ,  $t_i = a + ih$ ,  $i = 0, \dots, n$ . Dann hat die Trapezsumme

$$T(h) = h \cdot \left( \frac{1}{2}(f(a) + f(b)) + \sum_{i=1}^{n-1} f(t_i) \right)$$

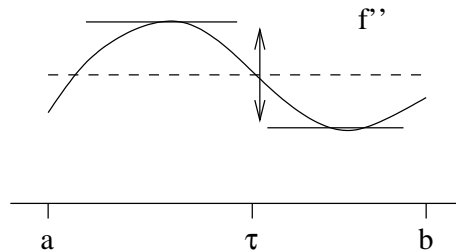
für  $f \in C^2(a, b)$  den Fehler

$$T(h) - \int_a^b f(x) dx = \frac{(b-a)h^2}{12} f''(\tau)$$

für ein  $\tau \in (a, b)$ .

*Beweis:*  $T_i = \frac{h}{2}(f(t_i) + f(t_{i+1}))$  (Trapezregel bzgl.  $[t_i, t_{i+1}]$ )

$$\begin{aligned} T(h) &= \sum_{i=0}^{n-1} T_i \\ T(h) - \int_a^b f(x) dx &= \sum_{i=0}^{n-1} \left( T_i - \int_{t_i}^{t_{i+1}} f(x) dx \right) \\ [\text{Lemma 8.3}] &= \sum_{i=0}^{n-1} \frac{h^3}{12} f''(\tau_i) \\ &= \frac{(b-a)h^2}{12} \cdot \frac{1}{n} \cdot \sum_{i=0}^{n-1} f''(\tau_i) \end{aligned}$$



$$\min_{t \in [a, b]} f''(t) \leq \frac{1}{n} \cdot \sum_{i=0}^{n-1} f''(\tau_i) \leq \max_{t \in [a, b]} f''(t)$$

Nach dem Zwischenwertsatz für stetige Funktionen gilt:

$$\exists \tau \in (a, b) : f''(\tau) = \frac{1}{n} \sum_{i=0}^{n-1} f''(\tau_i) \quad \checkmark$$

Seien  $n$  gerade und  $S_i$  die zusammengesetzte Simpson-Regel bzgl.  $[t_{2i}, t_{2i+2}]$ ,  $i = 0, \dots, \frac{n}{2} - 1$ .

$$\begin{aligned} S(h) &= \sum_{i=0}^{\frac{n}{2}-1} S_i = \sum_{i=0}^{\frac{n}{2}-1} \frac{2h}{6} (f(t_{2i}) + 4f(t_{2i+1}) + f(t_{2i+2})) \\ &= \frac{h}{3} [f(a) + 4f(a+h) + 2f(a+2h) + \dots \\ &\quad \dots + 2f(b-2h) + 4f(b-h) + f(b)] \end{aligned}$$

$$S(h) - \int_a^b f(x)dx = \frac{b-a}{180} h^4 f^{(4)}(\xi) \text{ für ein } \xi \in (a, b), f \in C^4(a, b)$$

### Gauß-Quadratur

$I(f) = \int_a^b f(x)w(x)dx$ ,  $w(x) > 0$  stetig,  $\int_a^b x^k w(x)dx < \infty \forall k \in \mathbb{N}$ .  $a = -\infty$  und / oder  $b = \infty$  ist zugelassen.

Ziel: Quadraturformeln

$$\hat{I}_n(f) = \sum_{i=0}^n \lambda_{n,i} f(\tau_{n,i})$$

die Polynome möglichst hohen Grades exakt integrieren.

Freiheitsgrade:  $n+1$  Gewichte +  $n+1$  Stützstellen.

Hoffnung: Es gibt  $\hat{I}_n$  mit  $\hat{I}_n(p) = I(f) \forall p \in \Pi_{2n+1}$ .

**Lemma 8.6.** Sei  $\hat{I}_n$  exakt für alle  $p \in \Pi_{2n+1}$ . Dann gilt für

$$p_{n+1}(t) = (t - \tau_{n,0})(t - \tau_{n,1}) \cdots (t - \tau_{n,n})$$

die Orthogonalitätsrelation

$$\int_a^b q(t)p_{n+1}(t)w(t)dt = 0 \forall q \in \Pi_n$$

Beweis:  $q(t)p_{n+1}(t) \in \Pi_{2n+1}$

$$\begin{aligned} \Rightarrow \int_a^b q(t)p_{n+1}(t)w(t)dt &= \sum_{i=0}^n \lambda_{n,i} q(\tau_{n,i}) \overbrace{p_{n+1}(\tau_{n,i})}^{=0 \forall i} \\ &= 0 \quad \checkmark \end{aligned}$$

Folgerung:  $p_{n+1}$  steht senkrecht auf  $\Pi_n$  bzgl. des Skalarprodukts

$$\langle f, g \rangle_w = \int_a^b f(t)g(t)w(t)dt$$

Konstruiere daher  $\{p_k\}_{k \in \mathbb{N}_0}$ ,  $p_k \in \Pi_k$ , die Orthogonalpolynome bzgl.  $w$  sind, d.h.

$$\langle p_k, p_j \rangle_w = \begin{cases} \langle p_k, p_k \rangle_w, & k=j \\ 0, & k \neq j \end{cases}$$

**Satz 8.7.** Zu jedem Gewicht  $w$  von oben gilt es eindeutig bestimmte Orthogonalpolynome  $\{p_k\}_{k \in \mathbb{N}_0}$ ,  $p_k \in \Pi_k$  mit führendem Koeffizienten 1, d.h.  $p_k(t) = t^k + \alpha_{k-1}t^{k-1} + \dots$  zu finden. Sie genügen der Rekursion

$$p_k(t) = (t - a_k)p_{k-1}(t) + b_k p_{k-2}(t), \quad k = 1, 2, \dots$$

mit  $p_{-1} = 0$  und  $p_0 = 1$  und

$$a_k = \frac{-\langle t p_{k-1}, p_{k-1} \rangle_w}{\langle p_{k-1}, p_{k-1} \rangle_w}, \quad b_k = -\frac{\langle p_{k-1}, p_{k-1} \rangle_w}{\langle p_{k-2}, p_{k-2} \rangle_w}$$

**Satz 8.8.** Seien  $\{p_k\}_k$  die Orthogonalpolynome von oben bzgl.  $w$ . Dann hat  $p_k$  genau  $k$  einfache Nullstellen in  $]a, b[$ .

**Lemma 8.9.** Seien  $\tau_{n,0}, \dots, \tau_{n,n}$  die Nullstellen des  $(n+1)$ -ten Orthogonalpolynoms bzgl.  $w$ . Dann gilt für  $\hat{I}_n(f) = \sum_{i=0}^n \lambda_{n,i} f(\tau_{n,i})$ :

$$\hat{I}_n(f) \text{ ist exakt auf } \Pi_n \Leftrightarrow \hat{I}_n \text{ ist exakt auf } \Pi_{2n+1}.$$

Seien  $L_{n,i}$  die Lagrange-Polynome bzgl.  $\tau_{n,0}, \dots, \tau_{n,n}$

$$\Rightarrow \lambda_{n,i} = \int_a^b w(t) L_{n,i}(t) dt$$

**Lemma 8.10.**  $\lambda_{n,i} > 0 \forall i \in \{0, \dots, n\}$ .

$$\Rightarrow \hat{I}_n \text{ ist positive Linearform}$$

Die so konstruierten Quadraturformeln heißen Gauß-Formeln zur Gewichtsfunktion  $w$ .

$$\int_a^b f(t) w(t) dt - \hat{I}_n(f) = \langle p_{k+1}, p_{k+1} \rangle_w \frac{f^{(2n+2)}(\tau)}{(2n+2)!}$$

*Beispiel:*  $a = -1, b = 1, w = 1$ .  $\{p_k\}_k$  sind die Legendre-Polynome

$$p_0 = 1, p_1(t) = t, p_2(t) = t^2 - \frac{1}{3}$$

$$p_3(t) = tp_2(t) - \frac{12}{45} \cdot p_1(t) = t(t^2 - \frac{3}{5})$$

$\Rightarrow \{-\sqrt{\frac{3}{5}}, 0, \sqrt{\frac{3}{5}}\}$  sind die Nullstellen von  $p_3$ .

$$L_{2,0}(t) = \frac{5}{6} t(t - \sqrt{\frac{3}{5}}) \quad \Rightarrow \lambda_{2,0} = \frac{5}{9}$$

$$L_{2,1}(t) = -(\frac{5}{3} t^2 - 1) \quad \Rightarrow \lambda_{2,1} = \frac{8}{9}$$

$$L_{2,2}(t) = \frac{5}{6} t(t + \sqrt{\frac{3}{5}}) \quad \Rightarrow \lambda_{2,2} = \frac{5}{9}$$

$$\hat{I}_2(f) = \frac{5}{9} f(-\sqrt{\frac{3}{5}}) + \frac{8}{9} f(0) + \frac{5}{9} f(\sqrt{\frac{3}{5}})$$

exakt auf  $\Pi_5$ .

$$\int_a^b f(x) dx = \frac{b-a}{2} \int_{-1}^1 f(a + \frac{t+1}{2}(b-a)) dt, \quad -\infty < a < b < \infty$$

$$\Rightarrow \hat{I}_2(f) = \frac{b-a}{18} \left[ 5f\left(a + \frac{1-\sqrt{\frac{3}{5}}}{2}(b-a)\right) + 8f\left(\frac{1}{2}(a+b)\right) + 5f\left(a + \frac{1+\sqrt{\frac{3}{5}}}{2}(b-a)\right) \right]$$

(-: ENDE :-)